

UNIVERSIDADE FEDERAL DE PERNAMBUCO CENTRO DE CIÊNCIAS EXATAS E DA NATUREZA PÓS-GRADUAÇÃO EM CIÊNCIA DE MATERIAIS

Karolyne Santos da Silva

ESTUDO DA EFICIÊNCIA ADSORTIVA DE MATERIAIS CARBONÁCEOS FRENTE A UM CORANTE ANIÔNICO

Recife 2017

Karolyne Santos da Silva

ESTUDO DA EFICIÊNCIA ADSORTIVA DE MATERIAIS CARBONÁCEOS FRENTE A UM CORANTE ANIÔNICO

Dissertação apresentada ao Programa de Pós-graduação em Ciência de Materiais da Universidade Federal de Pernambuco como parte integrante dos requisitos para obtenção do grau de Mestre em Ciência de Materiais.

Área de Concentração: Química Inorgânica

Orientadores: Prof. Dr. Eduardo Henrique

Lago Falção

Prof^a. Dr^a. Marilda Nascimento Carvalho **Co-orientador:** Prof. Dr. Petrus Santa

Cruz D'Amorim

Recife

2017

Catalogação na fonte Bibliotecária Elaine Freitas CRB4-1790

S586e Silva, Karolyne Santos da

Estudo da eficiência adsortiva de materiais carbonáceos frente a um corante aniônico/ Karoline Santos da Silva. – 2017.

57f.: fig., tab.

Orientador: Eduardo Henrique Lago Falcão Dissertação (Mestrado) — Universidade Federal de Pernambuco. CCEN. Química fundamental. Recife, 2017.

Inclui referências

1. Química inorgânica. 2. Nanocarbonos. 3. Adsorção de corantes. 4. Grafeno. I. Falcão, Eduardo Henrique Lago (Orientador). II. Título.

546 CDD (22. ed.) UFPE-FQ 2018-66

Karolyne Santos da Silva

ESTUDO DA EFICIÊNCIA ADSORTIVA DE MATERIAIS CARBONÁCEOS FRENTE A UM CORANTE ANIÔNICO

Dissertação apresentada ao Programa de Pós-Graduação em Ciência de Materiais para obtenção do Grau de Mestre em Ciência de Materiais na Universidade Federal de Pernambuco.

Data de aprovação: 06 / 11 / 2017

BANCA EXAMINADORA:

Prof. Dr. Eduardo Henrique Lago Falcão
Universidade Federal de Pernambuco
(Orientador)

Prof. Dr. Marcelo Navarro
Universidade Federal de Pernambuco
(Examinador interno)

Prof. Dra. Fabiana Fim
Universidade Federal da Paraíba
(Examinador externo)

AGRADECIMENTOS

A Deus, pelo dom da vida e por me proporcionar um livro em que eu possa a cada dia escrever minha história. A meus pais, Jose Carlos e Irani, pelo amor, pela compreensão, paciência, cuidados, conselhos, por me apoiarem e acreditarem em mim. Ao meu irmão, amigo e ídolo, Carlos Junior, pelo companheirismo, apoio, por dividir comigo todos os momentos de alegrias, esperanças, angústias, tristezas, incertezas, sonhos e sempre que precisei me emprestou seu ombro amigo, suas palavras e sua capacidade de superar os limites.

À minha família pelo amor e torcida. À minha avó materna, Rute, pelo amor, por sua coragem e força. Aos meus avós paternos, Josefa e Fernando, pelo carinho, ensinamentos transmitidos, paciência, cuidados e acolhimento. Às minhas queridas primas e amigas de sempre: Lais, Gleiciane, Fernanda, Andra, Camila e Elis pelo carinho, cuidado, apoio, torcida e por compreenderem minhas ausências e crises existenciais ao longo dessa caminhada.

Aos meus orientadores, Eduardo, pela confiança no meu trabalho e pela compreensão das minhas limitações pessoais; Marilda, pela sua dedicação, respeito e amizade.

Aos amigos do LAMSA, Theia, Manoel (Taperoá), Renan, Flávio, Kaline, Professora Eleonora e Deivson pelos conhecimentos partilhados, carinho, união e respeito.

Aos amigos da pós-graduação, especialmente Maysa, Aluiz, Simone, Jéssica, Amanda, Fátima por todo esse respeito, risos e agonias compartilhas, e aos alunos do grupo do professor Eduardo pelos conhecimentos partilhados.

Termino agradecendo a todos que de uma forma menos direta, mas não menos importante, colaboraram com o seu apoio, amor, amizade, compreensão e incentivo.

A Fé que levo em minha alma, Traz a certeza de tudo! (ZELAYA, N.C., 1978)

RESUMO

A adsorção vem sendo bastante aplicada no tratamento de efluentes têxteis, devido principalmente às vantagens econômicas e ambientais, quando comparada com outros métodos de remediação ambiental. Diversas pesquisas vêm apresentando novos materiais com morfologias e funcionalidades voltadas para tornar o processo adsortivo mais eficiente. Neste trabalho foi obtido, pelo método de Hummers, o óxido de grafeno (GO) e, após tratamento químico, o óxido de grafeno reduzido (rGO), com o propósito de aplicá-los como adsorventes para o corante aniônico comercial Indosol Azul SFGL. Os materiais obtidos foram comparados com dois materiais carbonáceos comerciais: um carvão ativado (CA) e o nanocarbono XGnP. As isotermas de adsorção de nitrogênio a 77 K indicaram áreas superficiais de 1190 m²/g para o CA, 166 m²/g para o GO, 290 m²/g para o rGO e 90 m²/g para o XGnP. A difração de raios-X e a espectroscopia vibracional confirmaram a oxidação do grafite precursor a GO e sua redução a rGO. Alguns grupos oxigenados nos materiais foram detectados e analisados por espectroscopia vibracional. Os ensaios de adsorção foram realizados a partir da quantidade máxima de remoção do corante pelos adsorventes. Em baixa concentração do corante (até 5,0 mg/L), os quatro materiais foram capazes de remover basicamente 100% do corante. Por outro lado, em concentrações acima de 40,0 mg/L, a remoção decresceu bruscamente, e os materiais sintetizados (GO e rGO) apresentaram melhores desempenhos (até 70% de remoção para o rGO) em comparação com os materiais comerciais. A adsorção do corante foi modelada através de isotermas de adsorção de Freundlich e Lagmuir.

Palavras-chave: Nanocarbonos. Grafeno. Adsorção de corantes. Isotermas.

ABSTRACT

Adsorption has been widely applied in the treatment of textile effluents, mainly due to its economic and environmental advantages when compared to other remediation methods. Several adsorbents have been developed with morphologies and functionalities aimed on making the adsorption process more efficient. In this work, graphene oxide (GO) and reduced graphene oxide (rGO) were obtained by the Hummers method, with the purpose of applying them as adsorbents for the commercial anionic dye Indosol Azul SFGL. The materials were compared with two commercial carbonaceous materials: an activated carbon (AC) and the nanocarbon XGnP. Nitrogen adsorption isotherms at 77 K indicated surface areas of 1190 m²/g for AC, 166 m²/g for GO, 290 m²/g for rGO and 90 m²/g for XGnP. X-ray diffraction and vibrational spectroscopy confirmed the oxidation of graphene to GO and its reduction to rGO. Several oxygen groups were detected on the surface of the materials and studied by vibrational spectroscopy. Subsequently, batch adsorption tests were carried out and the dye removal by the adsorbents was quantified. At low dye concentration (up to 5.0 mg/L), the four materials provided maximum removal. On the other hand, at concentrations above 40.0 mg/L, the removal capability decreased abruptly, and the synthesized materials (GO and rGO) presented better performances (up to 70% removal for rGO). The adsorption of the dye was modeled by adsorption isotherms of Freundlich and Lagmuir.

Keywords: Nanocarbon. Graphene. Adsorption of dyes. Isotherms.

LISTA DE FIGURAS

Figura 1 - Tipos de histerese de acordo com a classificação da IUPAC
Figura 2 - Oxidação de grafite para obter óxido de grafeno - Imagem adaptada de Serp; Macgado, 2013
Figura 3 - Redução do GO para rGO - Imagem adaptada de Serp; Machado, 2010 26
Figura 4 – Óxido de grafeno (a) depois de seco em forma de filme (b) GO em forma de pó (c) disperso em água depois de sonicado
Figura 5 - Óxido de grafeno reduzido (a) após a reação de redução (b) após secagem 32
Figura 6 - imagens de MEV (a) grafite precursor (b) espaçamento entre estas folhas do material depois de oxidado e (c) superfície do GO
Figura 7 - Imagens de MEV para o rGO (a) superfície e (b) folhas
Figura 8 - XGnP (a) empilhamento das folhas e (b) superfície
Figura 9 - Carvão ativado (a) superfície e (b) poros
Figura 10 - Difratogramas do (a) grafite precursor e (b) óxido de grafeno
Figura 11 - Difratograma do rGO
Figura 12 - Difratograma do XGnP
Figura 13- Difratograma do CA
Figura 14 - Espectros FTIR dos materiais: (a) GO e (b) rGO
Figura 15 - Espectros de infravermelho do (c) XGnP e (d) CA
Figura 16 - Espectros Raman do (a) Grafite, (b) óxido de grafeno, (c) óxido de grafeno reduzido, (d) XGnP e (e) carvão ativado
Figura 17 - Curva de adsorção/dessorção do (a) GO, (b) rGO, (c) XGnP e (d) CA 41
Figura 18 - Efeito do pH sobre a adsorção do corante SFGL pelos materiais (a) GO, (b) rGO, (c) XGnP e (d) CA. Condições experimentais $T=25^{\circ}\text{C}$; $m=0.05\text{g}$; $C_{corante}=50.00\text{mg/L}$; 440 rpm. Tempo 120 min
Figura 19 - Comportamento experimental da cinética de adsorção do corante SFGL pelos materiais GO, XGnP e CA. T= 25°C; m= 0,05 g; C _{corante} = 60,00 mg/L; 440 rpm.
Figura 20 - Modelagem do equilíbrio de adsorção SFGL/GO: ajuste dos dados experimentais ao modelo de Langmuir
Figura 21 - Modelagem do equilíbrio de adsorção SFGL/rGO: ajuste dos dados experimentais ao modelo de Freundlich

Figura 22 - Curva experimental de adsorção do XGnP	. 46
Figura 23 - Modelagem do equilíbrio de adsorção corante-CA: ajuste dos dados experimentais ao modelo de Freundlich	. 47
Figura 24 - Comparação da eficiência de remoção do corante com os materiais (GO, rGO, XGnP e CA).	. 48

LISTA DE TABELAS

Tabela 1 - Tipos de isoterma de adsorção segundo a classificação da IUPAC	17
Tabela 2 - Efeito do pH no Ponto de Carga Zero	43

SIGLAS E ABREVIATURAS

BET Brunauer – Emmet – Teller

CA Carvão ativado

C_e Concentração de soluto no equilíbrio

DRX Difração de raios-X

FTIR Espectroscopia de infravermelho com transformada de Fourier

GO Óxido de grafeno

 K_F Constante de Freundlich K_L Constante de Langmuir

MB Azul de metileno

MEV Microscopia eletrônica de varredura

PCZ Ponto de carga zero
PTFE Politetrafluoretileno

q_e Capacidade de adsorção no equilíbrio

q_m Capacidade de adsorção de saturação na monocamada

rGO Óxido de grafeno reduzido

UV/VIS Ultravioleta-visível

X (%) Percentagem de remoção

SUMÁRIO

1	INTRODUÇÃO	13
1.1	OBJETIVO	14
1.1.1	Objetivo Geral	14
1.1.2	Objetivos Específicos	14
2	FUNDAMENTAÇÃO TEÓRICA	15
2.1	CONTAMINAÇÃO DE EFLUENTES POR CORANTES	15
2.2	FUNDAMENTOS DA ADSORÇÃO	
2.2.1	Cinética de adsorção	
2.2.2	Isotermas de adsorção	17
2.2.3	Fatores relevantes para o processo de adsorção	
2.2.4	Adsorção de corante por materiais de carbono	
2.3	GRAFENO E DERIVADOS	
2.3.1	Grafite	23
2.3.2	Grafeno	23
2.3.3	Óxido de grafeno	
2.3.4	Óxido de grafeno reduzido	
3	MATERIAIS E MÉTODOS	
3.1	Obtenção dos materiais de carbono	27
3.1.1	Obtenção do óxido de grafite	27
3.1.2	Obtenção do óxido de grafeno reduzido (rGO)	
3.1.3	Obtenção do carvão ativado e material comercial	
3.2	CARACTERIZAÇÃO DOS MATERIAIS	
3.2.2	Microscopia Eletrônica de Varredura (MEV)	
3.2.3	Difração de Raios-X (DRX)	
3.2.4	Espectroscopia no Infravermelho com Transformada de Fourier (FTIR)	28
3.2.5	Espectroscopia Raman	28
3.2.6	Medidas de adsorção com nitrogênio	29
3.2.7	Espectroscopia UV/Vis	29
3.2.8	Potencial de Carga Zero (PZC)	29
3.2.9	Efeito do pH	29
3.2.10	Cinética de adsorção	30
3.2.11	Equilíbrio de Adsorção	
4	RESULTADOS E DISCUSSÃO	31
4.1	OBTENÇÃO DOS MATERIAIS	
4.2	CARACTERIZAÇÃO DOS MATERIAIS	
4.2.1	Microscopia Eletrônica de Varredura	32
4.2.2	Difração de Raios-X	35
4.2.3	Espectroscopia no Infravermelho por Transformada de Fourier	
4.2.4	Espectroscopia Raman	
4.2.5	Medidas de adsorção com nitrogênio	
4.2.6	Influência do pH	
4.2.7	Ponto de Carga Zero (PCZ)	43
4.2.8	Cinética	43
4.2.9	Equilíbrio de adsorção	
5	CONCLUSÕES	
6	PERSPECTIVA	50
	REFERÊNCIAS	51
		1

1 INTRODUÇÃO

O tratamento de águas provenientes de indústrias têxteis, plásticos, corantes, alimentares, cosméticos, papel e outras é de extrema importância, pois esses efluentes contém uma grande quantidade de corantes que provoca grave poluição ambiental. Os corantes possuem estruturas aromáticas complexas que muitas vezes são desafiadoras para separar ou degradar (DUTTA *et al.*,2016).

Os processos convencionais para remoção de corante são oxidação, degradação fotocatalítica, osmose reversa e adsorção. A adsorção é amplamente utilizada devido à alta eficiência, facilidade de operação e baixo custo. Nesse sentido, tem crescido o interesse na investigação de novos materiais adsorventes.

A maioria dos materiais a base de carbono apresentam propriedades como elevada área superficial específica (YU et al., 2011), módulo de Young para o grafeno a ordem de 1 TPa (BIANCO et al., 2013). Essas e outras propriedades conferem a esses materiais um vasto potencial de aplicações científicas e tecnológicas, tais como adsorventes (KIM et al., 2015; RAMESHA et al., 2011; ZHAO et al., 2014), supercapacitores (YASSIN et al., 2017; XING et al., 2017), sensores de gás (KIM et al., 2017; LIU et al., 2016), biossensores (FU et al., 2017; MONDAL et al., 2017) e células solares (MEMON et al., 2017).

Neste trabalho foram preparadas amostras de óxido de grafeno e óxido grafeno reduzido, as quais foram caracterizadas e testadas como potenciais adsorventes para o corante indosol azul. Amostras de Carvão ativado e do grafeno comercial XGnP foram comparadas com os materiais sintetizados pelo método de Hummers, o óxido de grafeno (GO) e óxido de grafeno reduzido (rGO), obtido por tratamento químico. Posteriormente todos os materiais foram aplicados como adsorvente do corante aniônico comercial Indosol Azul SFGL.

1.1 OBJETIVO

1.1.1 *Objetivo Geral*

Este trabalho teve por objetivo principal comparar quatro materiais carbonáceos diferentes como adsorventes de um corante aniônico comercial.

1.1.2 Objetivos Específicos

- Obter o óxido de grafeno (GO) e óxido de grafeno reduzido (rGO) a partir do grafite pelo método de Hummers modificado seguido de redução química;
- Caracterizar os materiais;
- Avaliar os materiais sintetizados como adsorventes do corante SFGL;
- Comparar a eficiência de remoção dos materiais sintetizados com os adsorventes XGnP® (grafeno comercial) e carvão ativado.

2 FUNDAMENTAÇÃO TEÓRICA

2.1 CONTAMINAÇÃO DE EFLUENTES POR CORANTES

As águas residuais provenientes das indústrias têxteis, de papel, de alimentos e da borracha estão contaminadas por vários corantes sintéticos. Estes são considerados poluentes perigosos, por conterem alguns componentes potencialmente tóxicos, cancerígenos, teratogênicos ou mutagênicos para a natureza (KONICK *et al.*,2017). Nesses efluentes ainda se detectam significativas quantidades de compostos orgânicos (entre eles os corantes) e metais, mantendo-os frequentemente em condições insuficientes para reutilização em processo ou para descarte em corpos hídricos receptores (CARVALHO *et al.*, 2012).

O tratamento das águas residuais depende das propriedades físico-químicas do corante (ABBASSI *et al.*, 2013). As principais metodologias propostas para remover os corantes de águas residuais são: oxidação, degradação fotocatalítica, osmose reversa e adsorção (LEODOPOULOS *et al.*, 2014; YAGUB *et al.*, 2014). A adsorção é um método usual utilizado para o tratamento de águas residuais e remoção de corantes, devido à disponibilidade de adsorventes, simplicidade em operação e alta eficiência (KIM *et al.*, 2017).

2.2 FUNDAMENTOS DA ADSORÇÃO

A adsorção é um processo no qual uma espécie química (adsorvato) é atraída para a superfície do adsorvente (Atkins; Jones, 2004). De acordo com as forças envolvidas no contato entre adsorvente e adsorvato, a adsorção pode ser classificada como adsorção física (fisissorção) e adsorção química (quimissorção).

A adsorção física é a ligação do adsorvato à superfície do adsorvente envolvendo uma interação relativamente fraca que pode ser atribuída a forças supramoleculares, como a de Van der Waals. Considerando a adsorção como um fenômeno de superfície, a natureza da superfície dos adsorventes é especialmente importante para a compreensão dos mecanismos de interações entre adsorvente e adsorvato. Do ponto de vista termodinâmico, o calor envolvido na fisissorção está situado, em geral, abaixo de 10 kcal/mol, ou seja, da ordem de uma condensação/vaporização. A adsorção química é altamente específica e nem todas as superfícies sólidas possuem sítios ativos capazes de adsorver quimicamente o adsorvato (NASCIMENTO *et al.*, 2014).

2.2.1 Cinética de adsorção

A cinética de adsorção estuda a evolução do processo adsortivo em função do tempo. Por meio dela, é possível compreender a influência do tempo de contato sobre a quantidade de moléculas adsorvidas na superfície do adsorvente. Os estudos de cinética são fundamentais para determinar as condições ideais para se alcançar a alta eficiência no sistema, podendo ser influenciado diretamente pelas características físico-químicas do adsorvato (natureza, peso molecular, solubilidade), do adsorvente (natureza, estrutura de poros) bem como da solução (pH, temperatura e concentração) (NASCIMENTO *et al.*,2014).

Uma das equações mais usuais de taxas para adsorção em superfícies sólidas para sistemas de adsorção sólido/liquido é conhecido como equação de Largergren (1998). Esta é uma equação cinética de pseudo-primeira ordem, frequentemente aplicada para modelar os dados experimentais da cinética de adsorção, equação 1.

$$\frac{dq_t}{dt} = K_1(q_{eq} - q_t) \tag{1}$$

sendo K_1 (min⁻¹) a constante da taxa de adsorção de pseudo-primeira ordem e $q_{\rm eq}$ ($mg.g^{-1}$) e $q_{\rm t}$ ($mg.g^{-1}$) as quantidades adsorvidas de corante no equilíbrio e no instante de tempo t, respectivamente.

O modelo cinético de pseudo-segunda ordem também mede a capacidade de adsorção da fase sólida e descreve o comportamento do processo em todo o tempo de contato estudado. A equação 2 descreve esse modelo.

$$\frac{dq_t}{dt} = K_2 (q_{eq} - q_t)^2 \tag{2}$$

sendo K_2 (g.mg⁻¹.min⁻¹) a constante da taxa de adsorção de pseudo-segunda ordem e $q_{\rm eq}$ ($mg.g^{-1}$) e $q_{\rm t}$ ($mg.g^{-1}$) as quantidades adsorvidas de corante no equilíbrio e no instante de tempo t, respectivamente.

Esses modelos cinéticos podem ser utilizados para descrever a velocidade de adsorção de um adsorvato sobre um adsorvente. Os modelos propostos devem proporcionar um bom ajuste aos dados experimentais e também perspectivas sobre os mecanismos de adsorção, ou seja, devem prever o comportamento do processo estudado.

2.2.2 Isotermas de adsorção

As isotermas são empregadas na caracterização da retenção de substâncias químicas pelos sólidos adsorventes, permitindo representar graficamente a concentração de material adsorvente em função da quantidade de soluto adsorvida em uma dada temperatura por unidade de massa de adsorvente (NASCIMENTO *et al.*, 2014; MARRAKCHI *et al.*, 2017). Diversos autores SHARMA *et al.*,2014; PENG *et al.*,2016; ROBATI *et al.*,2016; Kim *et al.*, 2015; MARRAKCHI *et al.*,2017, entre outros) utilizaram esses modelos cinéticos para modelar os seus dados experimentais de adsorção de corantes por materiais de carbono.

A determinação de isotermas de adsorção é a base para caracterização das propriedades superficiais dos materiais. Parâmetros como área superficial específica, volume de poros e distribuição de tamanho de poros são normalmente determinados a partir das isotermas de equilibrio de adsorção física de vapor (CONDON, 2006). Segundo a classificação da IUPAC, a maioria dos materiais porosos corresponde a um dos seis tipos básicos de isotermas de adsorção (IUPAC, 1982), apresentados na Tabela 1.

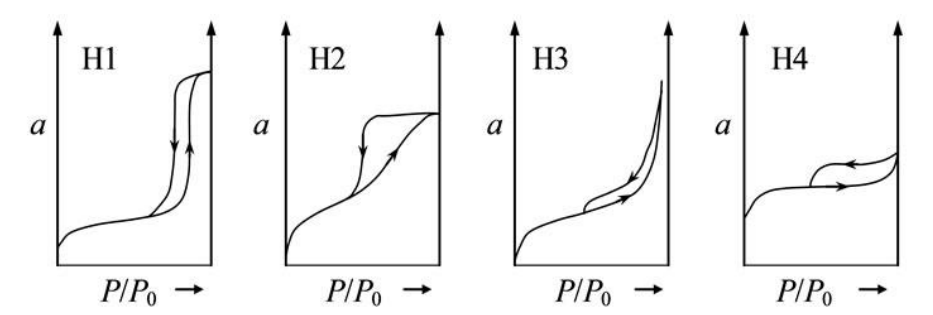
Tabela 2 - Tipos de isoterma de adsorção segundo a classificação da IUPAC.

Isotermas	Características
Tipo I	Côncavo para o eixo P/P°, característica de sólidos
	microporosos
Tipo II	Característica de sólidos não-porosos e macroporosos,
	adsorção g de monocamada-multicamada
Tipo III	Convexo para o eixo P/Pº e caracterizando sólidos não-
	porosos
Tipo IV	Característica de sólidos mesoporosos, em que a parte
	inicial desta isoterma é igual a isoterma do Tipo II
Tipo V	Muito incomum, caracteriza sólidos mesoporosos
Tipo VI	Caracteriza sólidos não-porosos com uma superfície
	quase completamente uniforme; possui mais de um
	ponto de inflexão

Fonte: Wang, et. al, 2015

A histerese de adsorção ocorre quando as curvas de adsorção e dessorção não coincidem (IUPAC, 1985). São identificados quatro tipos de histereses que correspondem a diferentes estruturas de poros (WANG *et al.*, 2012), como mostrado na Figura 1.

Figura 1 - Tipos de histerese de acordo com a classificação da IUPAC



- Tipo H1 Poros em canais cilíndricos bem definidos
- Tipo H2 Poros desordenados (poros bloqueados, fenômeno de percolação)
- Tipo H3 Agregados não-rígidos de partículas em placas (poros em formato de fenda)
- Tipo H4 Poros de fendas estreitas, incluindo poros na região de microporos

A aplicação dos modelos de equilíbrio permite a determinação de constantes cujos valores expressam propriedades da superfície e afinidades entre as fases. Os valores de capacidade máxima de adsorção e constantes de equilíbrio são estimados, possibilitando a interpretação das curvas experimentais e de como o adsorvato foi removido pelo adsorvente.

Tradicionalmente a isoterma de Langmuir é aceita para adsorção de monocamada com a hipótese de que as moléculas são adsorvidas na superfície do material em sítios ativos definidos (YANG, 1987). O modelo é expresso pela equação 3.

$$q_e = q_m \frac{K_L C_e}{1 + K C_e} \tag{3}$$

sendo $q_{\rm e}$ a capacidade de adsorção $(mg.g^{-1})$, $C_{\rm e}$ a concentração de soluto no equilíbrio $(mg.L^{-1})$, $q_{\rm m}$ a capacidade de adsorção de saturação na monocamada $(mg.g^{-1})$ e $K_{\rm L}$ a constante de equilíbrio da adsorção de Langmuir.

Freundlich propôs uma isoterma de adsorção empírica para uma adsorção não ideal em superfícies heterogêneas e para uma adsorção em multicamada. O modelo é expresso pela Equação 4 (YANG, 1987; LI *et al.*,2005).

$$q_e = k_F C_e^{1/n} \tag{4}$$

sendo q_e a capacidade de adsorção que é a concentração de soluto no equilíbrio em mg.L 1 , k_F a constante de Freundlich, e n um parâmetro empírico do modelo, que quando varia na faixa 1 < n < 10 indica adsorção favorável. Todas essas constantes dependem de diversos fatores experimentais e se relacionam, com a distribuição da capacidade de adsorção dos sítios ativos do adsorvente.

2.2.3 Fatores relevantes para o processo de adsorção

Vários fatores afetam o processo de adsorção. Estes fatores podem ser referentes ao adsorvente (porosidade, natureza química, etc), ao adsorvato, ou ao meio em que ocorre o processo (pH, polaridade, etc). O pH do meio é um dos fatores mais importantes, pois este afeta não só a estrutura da molécula do adsorvato, como a carga líquida na superfície do adsorvente. A adsorção de corantes é influenciada pelo grau de ionização do corante e pela carga superficial do adsorvente, que por sua vez são influenciados pelo pH da solução (YU et al., 2015; NETPRADIT, et al., 2004). No caso do adsorvente, por exemplo, a superfície dos sítios ativos torna-se positivamente carregada quando se associa com os prótons provenientes da solução, sob condições ácidas, ou negativamente carregadas quando ocorre a perda de prótons para a solução, sob condições alcalinas (NASCIMENTO et al., 2014).

Um parâmetro importante a ser conhecido é o Ponto de Carga Zero (PCZ), que é definido como sendo o pH no qual a carga líquida na superfície do adsorvente é nula. A adsorção de corantes aniônicos é favorecida em pH inferior ao pH_{PCZ} do adsorvente, devido à carga líquida positiva em sua superfície. De modo análogo, corantes catiônicos têm sua adsorção favorecida em valores de pH mais altos que o pH_{PCZ} do adsorvente, devido à carga líquida negativa em sua superfície. (ONG *et al.*, 2014; BANERJEE *et al.*, 2013; WU *et. al.*, 2014).

Os diferentes grupos funcionais sobre a superfície dos materiais carbonáceos em geral são determinantes quanto ao caráter ácido ou básico do material. Esta característica

irá determinar os tipos de moléculas que terão maiores afinidades para serem adsorvidas em sua superfície (QIU, 2011).

Uma característica também relevante ao processo adsortivo que envolve os materiais carbonáceos como adsorventes são as medidas de tamanho, volume, distribuição e densidade de poros e área superficial específica, ou seja, sua porosidade.

O método de Brunauer, Emmett e Teller (BET) é empregado para determinar a área superficial, distribuição, tamanho ou volume de poros através da análise das isotermas de adsorção/dessorção de nitrogênio a 77 K. A curva de adsorção pode ser obtida a partir da pressão relativa na qual os poros são preenchidos com moléculas provenientes da fase gasosa, dessa forma ocorrendo um aumento da massa do sólido e um decréscimo da pressão do gás. Após um determinado tempo, a massa do sólido e a pressão do gás assumem um valor constante e a quantidade de gás adsorvido pode ser calculada pela diminuição da pressão. O processo inverso, ou seja, a remoção das moléculas contidas no poro, também pode ser utilizado, gerando a curva de dessorção (WEBB; ORR, 1997).

É realmente importante o entendimento da formação e estrutura do material, pois acredita-se que as propriedades físicas e consequentemente o comportamento adsortivo do material sejam afetados (GREGG; SING, 1982). Os poros correspondem a cavidades intrínsecas ao material adsorvente, servindo de suporte para a migração do adsorvato. O tamanho de poro pode ser expresso em termos de diâmetro (ou raio) de abertura, onde o volume total dos poros é definido como a soma de todos os espaços ocupados (BARRET et al.,1951; GREGG, SING, 1982).

A IUPAC estabeleceu a classificação dos materiais quanto à forma e ao tamanho dos poros. Poros com diâmetro ou fendas com largura menores que 2 nm são classificados como microporos. Aqueles com diâmetros entre 2 nm e 50 nm são definidos como mesoporos. Macroporos, por fim, são aqueles que apresentam larguras ou diâmetros maiores que 50 nm (IUPAC, 1982).

Outro fator relevante que pode ser determinada pela adsorção física de um gás na superfície de um sólido, calculando a quantidade de gás adsorvido correspondente à camada monomolecular na superfície. Um dos métodos mais comuns de determinação da área específica de um sólido baseia-se na determinação da quantidade de um adsorvato necessária para recobrir com uma monocamada a superfície de um adsorvente (SEKAR et al., 2004).

2.2.4 Adsorção de corante por materiais de carbono

A classe dos adsorventes carbonáceos engloba os materiais de carbono tradicionalmente associados à adsorção, como os carvões ativados e nanotubos de carbono, que mostram alta capacidade para a adsorção de corantes (WANG *et al.*, 2012). Os nanotubos de carbono possuem estruturas únicas, com propriedades eletrônicas e mecânicas notáveis. É sua área superficial elevada, entretanto (podendo atingir 1300 m²/g), que o torna um material promissor para aplicação como adsorvente de corantes (MITTAL *et al.*, 2015). O mecanismo de adsorção predominante varia de acordo com o tipo de corante orgânico, devido às diferentes possibilidades de interação com a superfície (interações eletrostáticas, hidrofóbicas, ligações de hidrogênio, de Van der Waals, e outras) (WANG *et al.*, 2015).

O carvão ativado é um material poroso que possui estrutura constituída por um conjunto irregular de camadas de átomos de carbono sp² (com significante fração de carbono sp³) onde os espaços entre as camadas constituem a porosidade do material. Esta constituição evita a formação de grafite mesmo quando o carvão é aquecido acima dos 300 °C (RUTHVEN, 1984; CARDOSO *et al.*, 2011). Tradicionalmente os carvões ativados são utilizados como adsorventes de corantes, por terem uma alta área superficial especifica, que varia de 600 a 1500 m²g⁻¹ (RODRÍGUES-REINOSO; MOLINA-SABIO, 1998) e por serem relativamente baratos.

Marrakchi e colaboradores (2017) estudaram um carvão mesoporoso rico em nitrogênio de alta qualidade (FSCA). O material obtido tinha uma área superficial de 1867 m²/g, tamanho de poro de 2,5 nm e volume de mesoporos de 0,38 cm³/g. A eficiência de adsorção do FSAC foi observada pelos efeitos da concentração inicial de corante (25-400 mg/L), temperatura (30-50 °C) e pH (3-11) na adsorção de Azul de Metileno (AM). A avaliação da absorção do azul de metileno por FSCA revelou que a isoterma de Langmuir e o modelo de adsorção de pseudossegunda ordem descreveram adequadamente os dados experimentais.

Em geral, a remoção de corantes iônicos usando nanomateriais à base de carbono (GO e rGO) têm sido objeto de crescente interesse por apresentarem vantagens relevantes como uma ótima interação do corante com a superfície dos materiais, resultando em uma boa eficiência de remoção. Essa eficiência foi observada por diversos autores (RAMESHA *et al.*, 2011; LIU *et al.*, 2012; BAI *et al.*, 2012).

Sharma e colaboradores (2014) avaliaram a adsorção do corante Verde de Metila sobre óxido de grafeno reduzido (rGO). Houve aumento da capacidade de adsorção com o aumento do pH. A presença de outros íons como Na⁺, Ca²⁺, Mg²⁺ e SO₄²⁻ também influenciou a adsorção devido à alteração nas propriedades da superfície. O aumento da capacidade de adsorção com o pH foi atribuído à interação eletrostática entre as cargas dos grupos polares negativamente carregados das folhas rGO e as cargas dos grupos polarizados de carga positiva da molécula de corante catiônico.

Em 2015, Moradi e colaboradores sintetizaram grafeno e óxido de grafeno (GO) pelo método de Hummer-Offeman e aplicaram os materiais como adsorvente para a remoção de dois corantes catiônicos, o vermelho básico 12 (BR 12) e vermelho básico 46 (BR 46) em solução aquosa. Os autores investigaram a influência de parâmetros físico-químicos no processo adsortivo como tempo de contato, temperatura e pH, e reportaram o pH 9 relacionado com a máxima adsorção para os corantes catiônicos devido à presença de cargas negativas (OH) presentes na superfície do material.

Peng et al. (2016) demonstraram o efeito do ponto de carga zero e pH da solução inicial na remoção do azul de metileno (AM) por óxido de grafeno. Os pesquisadores observaram que a adsorção de AM na presença de cátions diminuiu. Por outro lado, a adsorção aumentou na presença de ânions enquanto que na presença de ânions aumentou. O processo de adsorção foi bem descrito por um modelo de cinética de pseudo-segunda ordem e os autores apontaram que o modelo de Langmuir melhor representou os dados experimentais.

Jiao e colaboradores estudaram a adsorção de corantes catiônicos em sobre a adsorção de corantes catiônicos sobre óxidos de grafeno (GOs). Os resultados demonstraram que grafites com graus de grafitização menores foram mais facilmente oxidados, e os GO preparados a partir desses grafites tinham mais grupos contendo oxigênio, graus mais elevados de defeitos, camadas mais finas e áreas de superfície específicas mais altas. Os dados de equilíbrio estavam em melhor acordo com o modelo Langmuir. Além disso, a adsorção do corante catiônico azul nos GOs foi bem descrita pelo modelo cinético pseudossegunda ordem.

Kim e colaboradores (2015) demonstraram comportamentos de adsorção e as diferentes interações do corante vermelho ácido e azul de metileno em óxido de grafeno reduzido (rGO). Os estudos resultaram em diferentes comportamentos de adsorção e as diferenças entre a capacidade de adsorção dos corantes. Os dados de equilíbrio para azul

de metileno são ajustados à isoterma do modelo de Langmuir, enquanto o modelo de Freundlich é adequado para a isoterma de equilíbrio de vermelho ácido.

2.3 GRAFENO E DERIVADOS

2.3.1 *Grafite*

O grafite é a forma alotrópica do carbono mais abundante, termodinamicamente estável a temperatura e pressão ambientes. Nessa forma, a hibridização dos átomos de carbono é do tipo sp² organizado em anéis de seis átomos. O conjunto destes anéis forma lâminas conhecida como grafeno, que se sobrepõem ligados entre si por forças de van der waals. Essa interação é mais fraca que a ligação covalente, que leva ao espaçamento característico de 3,35 Å entre os planos (TAUT *et al.*, 2014; RICHTER *et al.*, 2014).

O grafite é um material leve e possui inúmeras aplicações reais e potenciais em armazenamento de hidrogênio (LUCKING *et al.*, 2005), sensores (CALAS-BLANCHARD *et al.*, 2003), catálise (LI *et al.*, 2007), materiais biomédicos (TRYBA *et al.*, 2005) e muitas outras. O grafite é um bom adsorvente devido polaridade fraca, à natureza hidrofóbica e lipofílica a uma capacidade de sorção seletiva extremamente alta para compostos orgânicos (ZHAO, Liu, 2013).

Em 2009, Zhao e Liu usaram grafite expandido como adsorvente para a remoção do corante catiônico azul de metileno (AM), a partir de soluções aquosas. Os resultados experimentais mostraram que o pH básico, o aumento da concentração inicial de corante e alta temperatura favoreceu a adsorção. O equilíbrio de adsorção do corante foi atingido rapidamente após 5 min de contato. Os resultados indicaram que o grafite expandido poderia ser empregado como um adsorvente eficiente para remoção de corantes têxteis de efluentes.

2.3.2 *Grafeno*

Na definição da IUPAC, grafeno consiste numa camada única de carbono com natureza de hidrocarboneto aromático policíclico (MCNAUGHT, 2016). Além das suas muitas aplicações, outras áreas de pesquisa incluem desenvolvimento de técnicas para produzir materiais nanoestruturados com controle do número de camadas e para melhorar a qualidade estrutural das camadas obtidas (GUPTA, 2015).

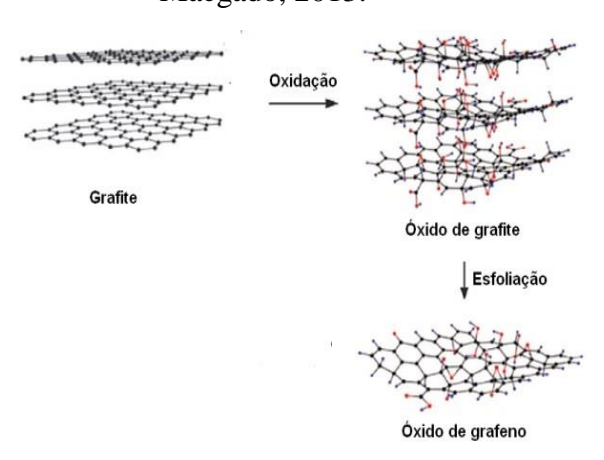
Novoselov e Geim foram os primeiros a isolar o grafeno usando um método mecânico para esfoliar as folhas de grafeno da estrutura do grafite (NOVOSELOV *et al.*, 2005). Eles usaram fitas adesivas para remover algumas camadas de grafite, e depois usaram um substrato para reduzir ainda mais o número de camadas de grafite até obter uma única camada de grafeno.

Wang e colaboradores (2013) observaram que o grafeno apresenta superfície hidrofóbica e alta capacidade de adsorção de moléculas com certas características-especificas (p.ex. compostos aromáticos e apolares).

2.3.3 Óxido de grafeno

O óxido de grafite tem uma estrutura em camadas similar ao grafite, mas os planos dos átomos de carbono no óxido de grafite são fortemente decorados por grupos contendo oxigênio, tais como ácido carboxílico, fenol, peróxido, e outros (Figura 2). Esses grupos não só expandem a distância interplanar, mas também tornam o material solúvel em água sob ultrassom moderada (YANG et. al., 2015; PEI et al., 2012). Se o material esfoliado contém apenas poucas camadas de átomos de carbono (até 10 folhas empilhadas), como o grafeno; estas folhas são denominadas óxido de grafeno (GO). A propriedade mais atraente do GO é que pode ser (parcialmente) reduzido, removendo os grupos contendo oxigênio com recuperação (parcial) da estrutura conjugada (CHEN et al., 2015; MONDA et al., 2015).

Figura 2 - Oxidação de grafite para obter óxido de grafeno - Imagem adaptada de Serp; Macgado, 2013.



Na síntese do óxido de grafeno são utilizados ácido sulfúrico, permanganato de potássio e água oxigenada. A esfoliação a grafeno é facilitada pela oxidação do grafite. Com a

funcionalização, o espaço entre os planos grafíticos aumenta e a força de van der Waals entre os planos é reduzida (ACIK; CHABAL, 2013).

Em 1859 Brodie relatou pela primeira vez a possibilidade da esfoliação do grafite, usando grupos funcionais introduzidos no grafite por oxidação. Posteriormente o grafite oxidado passa por uma redução química, onde tem-se a remoção dos grupos e o menor número de folhas do grafite (KWON; LEE, 2015).

O método de Brodie foi modificado por Staudenmaier, que adicionou sal de clorato em alíquotas múltiplas ao longo da reação. Esses experimentos de intercalação e oxidação são os primeiros exemplos da delaminação de grafite em suas lamelas constituintes (STAUDENMAIER, 1898).

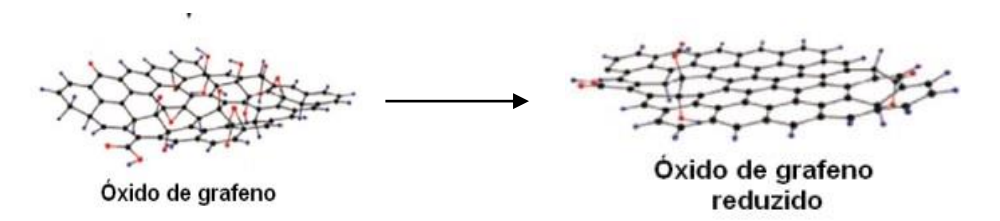
Em 1958, Hummers e Offeman propuseram uma via mais rápida e segura para produção de óxido de grafite. Neste método o grafite é disperso em uma mistura de ácido sulfúrico concentrado, nitrato de sódio e permanganato de potássio (substituindo o clorato de potássio) a 45 °C durante algumas horas (HUMMERS; OFFEMAN *et al.*, 1958). Após algumas modificações este método tornou-se um dos mais utilizados para a produção do óxido de grafeno.

2.3.4 Óxido de grafeno reduzido

Folhas de GO reduzidas (rGO) geralmente são consideradas como um tipo de grafeno quimicamente derivado (Shen *et al.*, 2015). A redução do material permite com que a maioria dos grupos superficiais (fenolicos, epoxi e carboxílicos) sejam removidos fazendo com que o material fique com a menor quantidade de folhas e com características mais aproximadas às do grafeno. Existem vários métodos para a redução do óxido de grafeno, sendo o mais comum o da redução química. Diversos agentes redutores são utilizados, tais como: hidrazina (MORIMOTO *et al.*, 2016), borohidreto de sódio (PEI; CHENG, 2012) e ácido ascórbico (FERNÁNDEZ-MERINO *et al.*, 2012).

Em termos de propriedades estruturais e eletrônicas, os métodos por redução térmica e redução química resultam em rGO (Figura 3). No entanto, na redução térmica não há necessidade de etapas de purificação, sendo empregada somente temperatura. Este método é, portanto, mais barato e rápido, embora

Figura 3 - Redução do GO para rGO - Imagem adaptada de Serp; Machado, 2010



3 MATERIAIS E MÉTODOS

3.1 Obtenção dos materiais de carbono

3.1.1 *Obtenção do óxido de grafite*

A obtenção do óxido de grafite baseou-se no mét. de Hummers modificado (MINITHA, *et al.*, 2017; MORADI *et al.*, 2015), como detalhado a seguir.

Em um béquer de 500 mL adicionou-se 1,0 g de grafite em pó (Sigma Aldrich 282863 - 99,5% de pureza, tamanho da partícula 20 μm), seguido de 25,0 mL de ácido sulfúrico concentrado (Nova Química 95,0 - 98,0%). Colocou-se o béquer em banho de gelo e deixou-se sob agitação constante até que a mistura alcançasse uma temperatura de ~10 °C. Adicionou-se então, lentamente, 3,0 g de permanganato de potássio (KMnO₄, 100% Merck). Após toda adição do KMnO₄ retirou-se o banho de gelo e manteve-se a mistura sob agitação constante à temperatura ambiente. Após 24 h adicionou-se vagarosamente 46 mL de água destilada. Em seguida fez-se adição rápida de 140 mL água destilada seguido de 10 mL de peróxido de hidrogênio (H₂O₂ – 30% - Vetec). Observou-se que a suspensão se tornou amarelada e um material marrom escuro depositou-se no fundo do recipiente.

Adicionou-se 30 mL de HCl (3%) à suspensão, para remoção de impurezas. Em seguida o material foi lavado com água destilada sucessivas vezes (9 a 10 vezes) até atingir pH 6,0. Por fim, colocou-se o GO para secar na estufa a uma temperatura de 80°C por 8 h.

3.1.2 *Obtenção do óxido de grafeno reduzido (rGO)*

O material sintetizado anteriormente foi reduzido pela rota química utilizando-se uma solução de borohidreto de sódio a 10%. O material foi colocado em um béquer de 500 mL com 30 mL de água destilada. Em seguida levou-se a solução para o ultrassom de banho por 60 min para dispersar e então obter o óxido de grafeno (GO). A essa dispersão foram adicionados 20 mL de NaBH₄ (VETEC – Pureza 98%), a qual foi levada a uma chapa de aquecimento e agitação simultânea até atingir 80 °C, mantendo a esta temperatura por um período de 1 h.

A suspensão foi lavada sucessivas vezes (6 a 7 vezes) com água destilada até atingir pH 7,0. Por fim o rGO foi seco a 80 °C na estufa por 9 h.

3.1.3 Obtenção do carvão ativado e material comercial

O carvão ativado foi obtido por meio de ativação química do mesocarpo do coco, com H_3PO_4 , seguida de aquecimento a 800 °C por 8 h sob atmosfera inerte. Este material foi preparado e cedido pelo prof. Deivson Sales, da Universidade de Pernambuco. O XGnP, têm espessura de 15 nm e tamanho lateral de 25 μ m e foi adquirido de forma comercial.

3.2 CARACTERIZAÇÃO DOS MATERIAIS

3.2.2 Microscopia Eletrônica de Varredura (MEV)

As amostras foram observadas por MEV foram fixadas em porta-amostra próprio do equipamento (*stub* de alumínio) com fita de carbono, e cobertas com uma camada de ouro fina (~20 nm). As imagens foram obtidas nos equipamentos MEV SS 550 (Shimadzu) e MEV-FEG MIRA3LM (Tescan). Os parâmetros para a aquisição de imagens foram ajustados de acordo com cada amostra e com a magnificação desejada.

3.2.3 Difração de Raios-X (DRX)

As amostras para análise por difração de raios-X foram utilizadas na forma de pó, em porta-amostra próprio do equipamento. Utilizou-se o difratômetro de raios-X modelo D8 Advance Davinci, da Bruker. Os ensaios foram realizados em temperatura ambiente entre 10 e 90°, delta-theta (ou 2theta), tipo 0,02 deg ou algo assim.

3.2.4 Espectroscopia no Infravermelho com Transformada de Fourier (FTIR)

As análises de infravermelho foram realizadas em um espectrômetro Shimadzu modelo IR Tracer-100. As amostras foram preparadas prensando-se (2 Torr) uma mistura de cerca de 0,1 mg de material em 100 mg de KBr.

3.2.5 Espectroscopia Raman

As medidas de espectroscopia Raman foram feitas em um equipamento Modelo 300 S (WITec) com excitação em 532 nm (potência menor que 0,5 mW). Em cada amostra foi realizada a medida de três espectros individuais em pontos aleatórios. Cada espectro foi obtido com acumulações de 30 s usando uma lente de 100 e uma grade de 600 linhas mm⁻¹. A potência baixa foi usada em todas as medidas para evitar o superaquecimento da amostra.

3.2.6 *Medidas de adsorção com nitrogênio*

As áreas superficiais de BET, volume e tamanho de poro foram obtidos a partir de isotermas de adsorção de nitrogênio a 77 K, usando um porosímetro ASAP 2600 da Micromeritics. As amostras foram submetidas a desgaseificação a 150 °C durante 2 h antes das medidas.

3.2.7 Espectroscopia UV/Vis

As concentrações (Ce) residuais dos corantes em solução foram analisadas via UV/Vis (Spectroquant® Pharo 300, Merck)A varredura preliminar indicou comprimento de onda máximo de absorção em 593 nm para o Indosol Azul SFGL.

3.2.8 Potencial de Carga Zero (PZC)

A metodologia empregada para a determinação do ponto de carga zero é denominada "experimento dos 11 pontos", e foi descrita por REGALBUTO; ROBLES (2004). O procedimento consistiu em preparar misturas de 50,0 mg de cada material em 50 mL de solução aquosa sob 11 diferentes condições de pH inicial (1, 2, 3, 4, 5, 6, 8, 9, 10, 11 e 12) e medir o pH após 24 h de equilíbrio. Fazendo-se o gráfico de pH final versus pH inicial, o PCZ corresponde à faixa onde o pH final se mantém constante independentemente do pH inicial.

3.2.9 Efeito do pH

Os estudos desenvolvidos por JIANG *et al.* (2016) e QI *et al.* (2017) sugerem que o valor do pH da solução tem um efeito significativo na adsorção, devido à forte influência sobre a carga superficial do adsorvente. Utilizou-se uma ampla faixa de pH (1, 3, 7, 10, 12 e 14), ajustados com soluções de HCl 0,1M e NaOH 0,1M. A partir desses resultados, o controle do pH passou a ser utilizado como um parâmetro para os experimentos de adsorção empregando-se condições semelhantes no presente trabalho. Alíquotas de 50,0 mL da solução de corante, preparadas na concentração de 50 mg/L, foram colocadas em contato com 0,05 g de cada material em frascos erlenmeyer (250 mL) por 120 min, sob agitação de 440 rpm. As amostras foram então filtradas com filtro hidrofílico PTFE, poro

0,22 µm (Analítica). As concentrações (Ce) residuais do corante em solução foram analisadas por UV/Vis.

3.2.10 Cinética de adsorção

A evolução da adsorção com tempo foi avaliada sob as seguintes condições: em um erlenmeyer de 150 mL, foram adicionados 100,0 mL da solução aquosa do corante com concentração de 60,0 mg/L. Foram adicionados 0,05 g do adsorvente (GO, rGO, XGnP ou CA), e os meios foram acidificados com HCl 0,1 M até pH 3,5. Após o tempo de contato sob agitação (25 °C, 400 rpm), as misturas foram filtradas usando filtro de PTFE, poro 0,22 μm. As concentrações, antes e após os experimentos, foram quantificadas por espectrofotometria UV/Vis (Spectroquant® Pharo 300, Merck; λ: 593 nm). Os experimentos foram realizados em duplicata.

Experimentos preliminares foram realizados para identificar se havia alteração no espectro do corante antes e depois de ser utilizado o filtro e também para haver se havia degradação a luz. Os espectros obtidos (*lambda max* de 593 nm) indicaram que não houve alteração nas amostras por degradação, nem variação significativa nas concentrações.

3.2.11 Equilíbrio de Adsorção

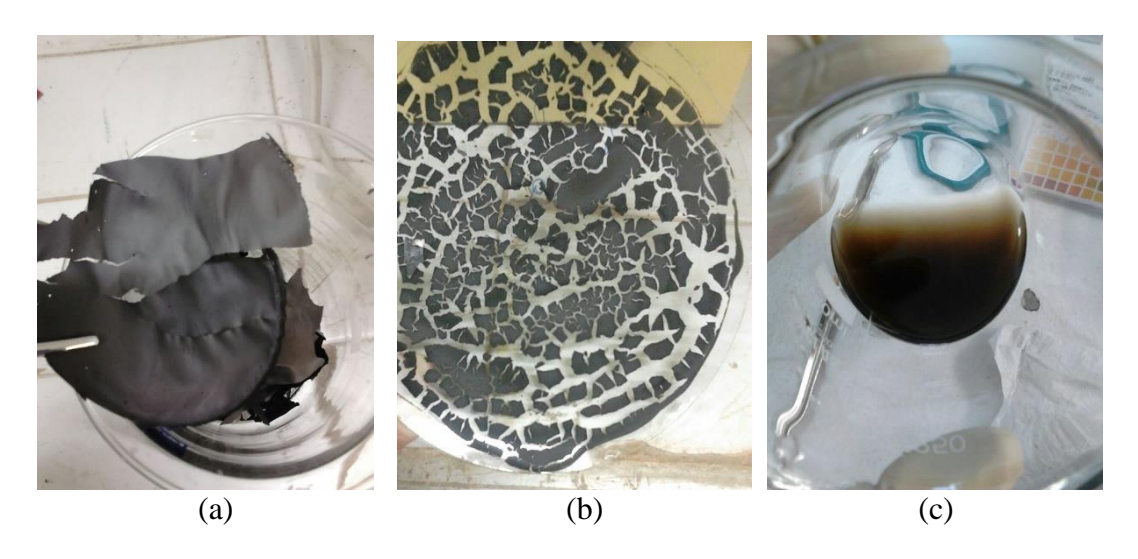
O equilíbrio dos sistemas adsortivos do corante SFGL pelos adsorventes selecionados seguiu as seguintes condições: em erlenmeyer de 150 mL, foram preparados 100,0 mL de soluções aquosas do corante nas concentrações variando de 1, 2, 3, 4, 5, 6, 7, 8, 9, 10, 15, 20, 30, 40, 50, 55 e 60,0 mg/L. Foram adicionados 0,05 g do adsorvente (GO, rGO, XGnP ou CA), e os meios foram acidificados com HCl 0,1 M até pH 3,5. Após o tempo de contato de 4 h sob agitação (25 °C; 400 rpm), as misturas foram filtradas usando filtro PTFE, poro 0,22 μm. As concentrações, antes e após os experimentos, foram quantificadas por espectrofotometria UV/Vis (Spectroquant® Pharo 300, Merck; λ: 593 nm). Os experimentos foram realizados em duplicata.

4 RESULTADOS E DISCUSSÃO

4.1 OBTENÇÃO DOS MATERIAIS

O GO sintetizado pelo método de Hummers modificado pode ser obtido em forma de filme ou pó e esta variação depende do processo de secagem. A Fig. 5(a) mostra o GO seco em forma sólida e a Fig. 5(b) mostra a dispersão em água do GO. Inicialmente pesou-se aproximadamente 6,0 g do grafite precursor, em seguida realizou-se a oxidação do material. Após o processo de oxidação e secagem, pesou-se novamente o material, obtendo-se ~ 9,5 g. A diferença de massa do grafite para o GO é por conta da inclusão de uma grande quantidade de grupos funcionais (carboxila, epóxis, hidroxilas) na estrutura do grafite.

Figura 4 - Óxido de grafeno (a) depois de seco em forma de filme (b) GO em forma de pó (c) disperso em água depois de sonicado.



Segundo Minitha *et al.* (2017), os grupos funcionais adicionados à estrutura do grafite fazem com que a distância interplanar seja aumentada, devido à introdução de grupos oxigenados entre as folhas do grafite oxidado. A oxidação facilita a dispersão em solventes polares, sendo factível a separação das folhas.

Para remover a maioria dos grupos oxigenados das folhas fez-se redução do GO usando o método químico com borohidreto de sódio. As propriedades hidrofílicas do GO não permanecem depois da redução. Isto possivelmente é devido ao fato de que no processo de redução são removidos a maioria dos grupos funcionais. A Figura 6 mostra a dispersão do grafeno reduzido.

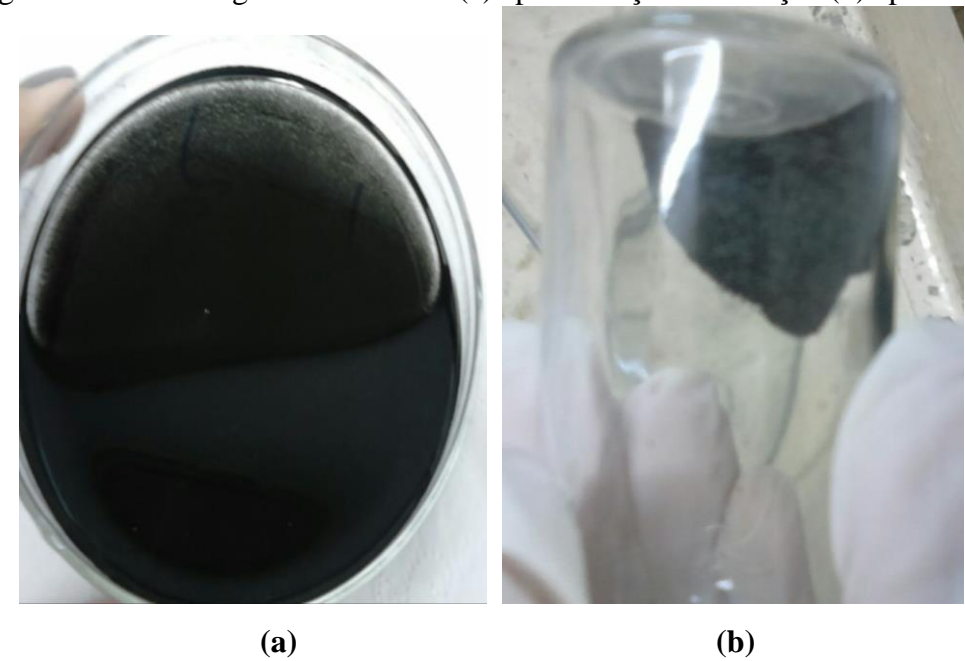


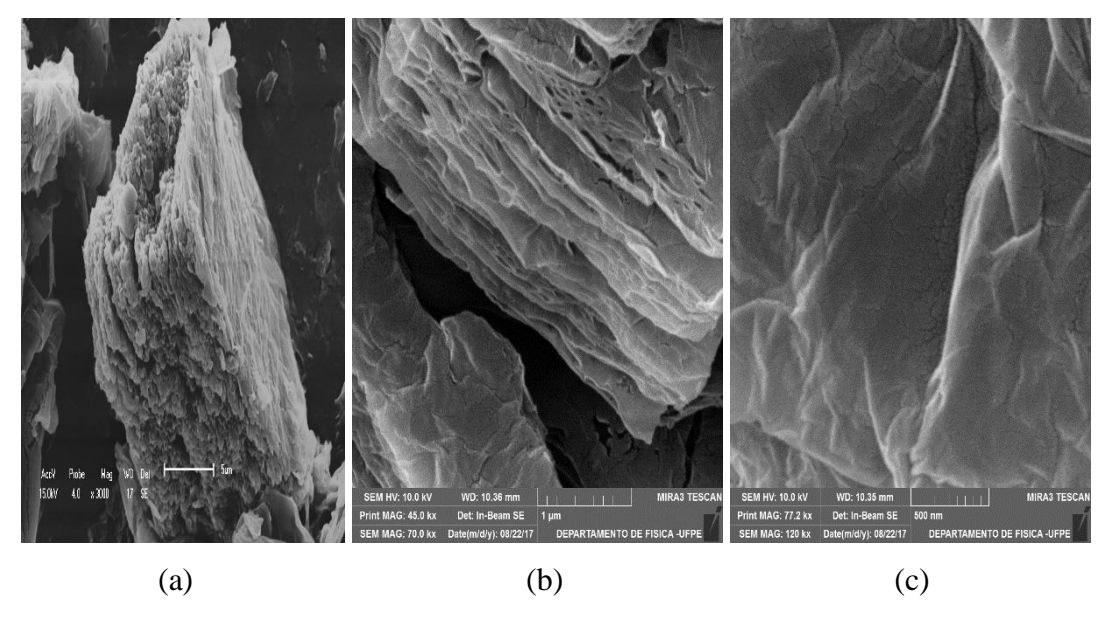
Figura 5 - Óxido de grafeno reduzido (a) após a reação de redução (b) após secagem.

4.2 CARACTERIZAÇÃO DOS MATERIAIS

4.2.1 Microscopia Eletrônica de Varredura

Foram realizadas análises de microscopia eletrônica de varredura (MEV) nas amostras, antes e após a oxidação, com o intuito de visualizar o precursor e comparar a diferença morfológica decorrida do processo de oxidação. Essas imagens são mostradas na Fig. 7.

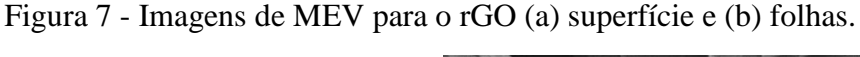
Figura 6 - imagens de MEV (a) grafite precursor (b) espaçamento entre estas folhas do material depois de oxidado e (c) superfície do GO.

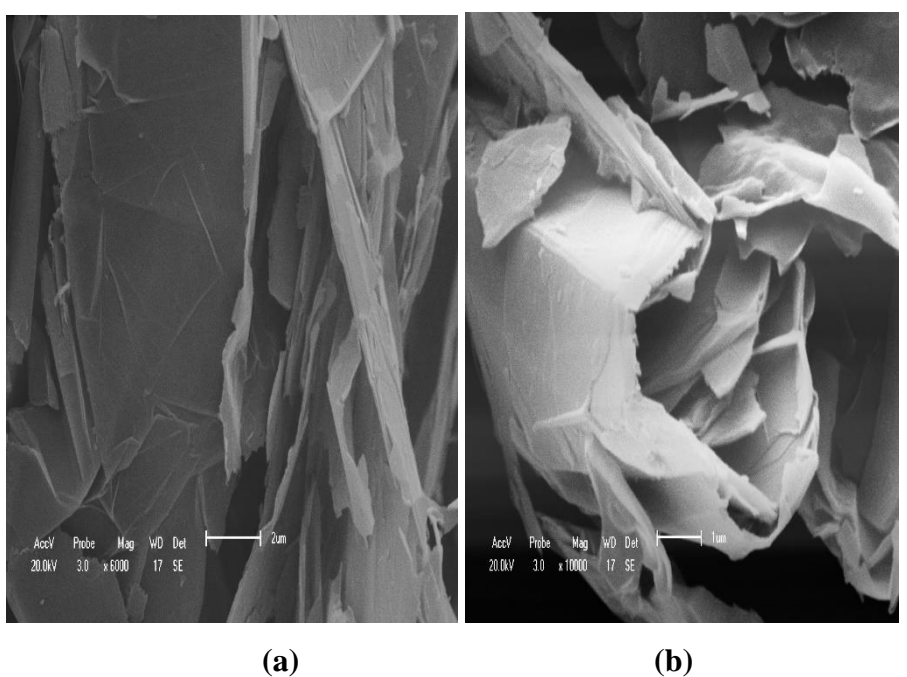


Após a reação de oxidação é possível observar certo grau de esfoliação; o afastamento entre conjuntos de folhas pode ser visto na Fig. 7(b). A presença de rugosidade na superfície e textura irregular pode ser visualizada na Fig. 7(c), confirmando uma característica morfológica típica para esse material (KONICKI *et al.*, 2017).

Após o processo de redução química utilizando borohidreto de sódio constatou-se que houve uma esfoliação do material, de forma que se pode observar que algumas folhas estão dobradas e com rugas nas superfícies, Figuras 8 (a) e (b). Essa morfologia se assemelha à observada para a amostra de XGnP (Figura 9). Isto sugere que conjuntos compostos de poucas camadas de grafeno empilhadas constituem uma fração de grafite considerável de ambos os materiais.

A Figura 10(a) e 10(b) apresentam a morfologia do carvão ativado, onde há poros com diferentes tamanhos e formas e a presença de rugosidades na superfície do material.





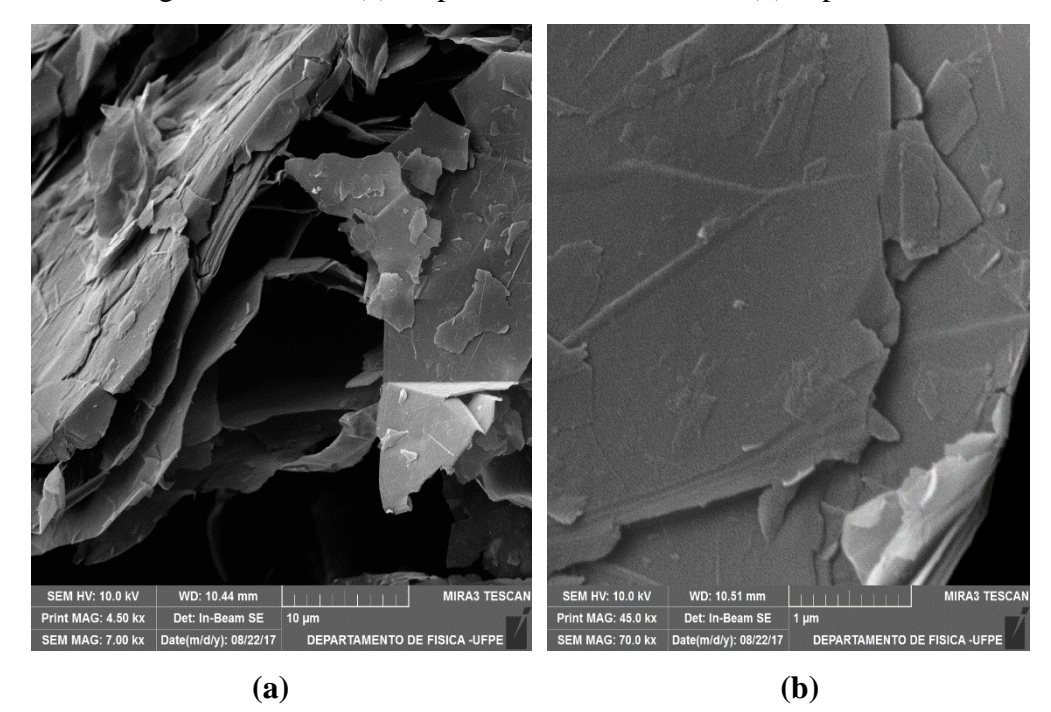
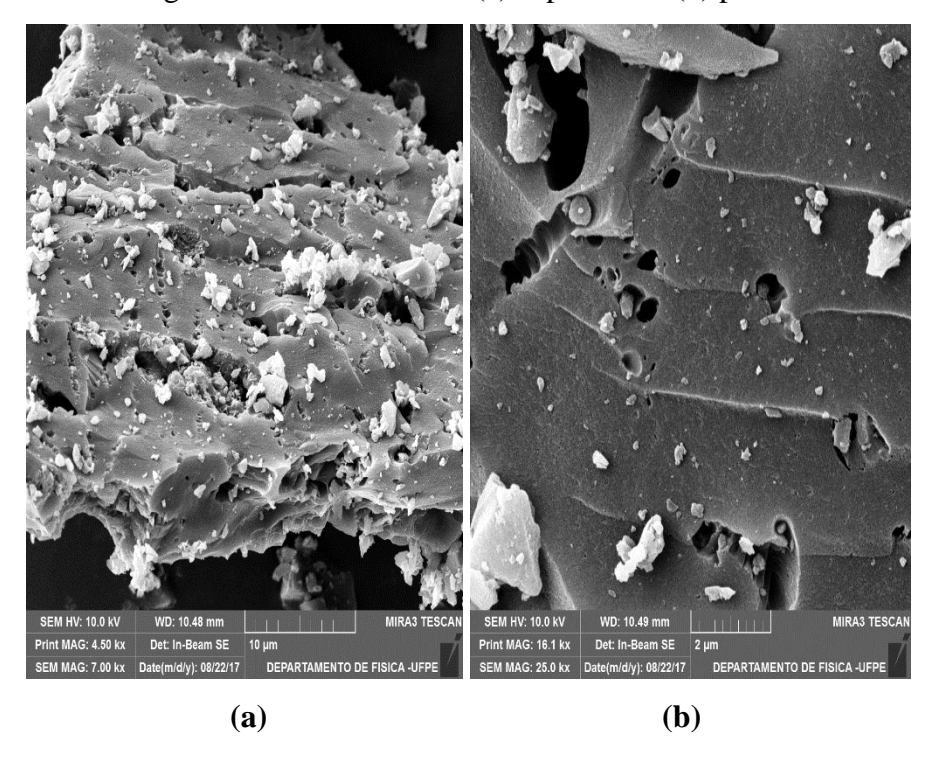


Figura 8 - XGnP (a) empilhamento das folhas e (b) superfície.

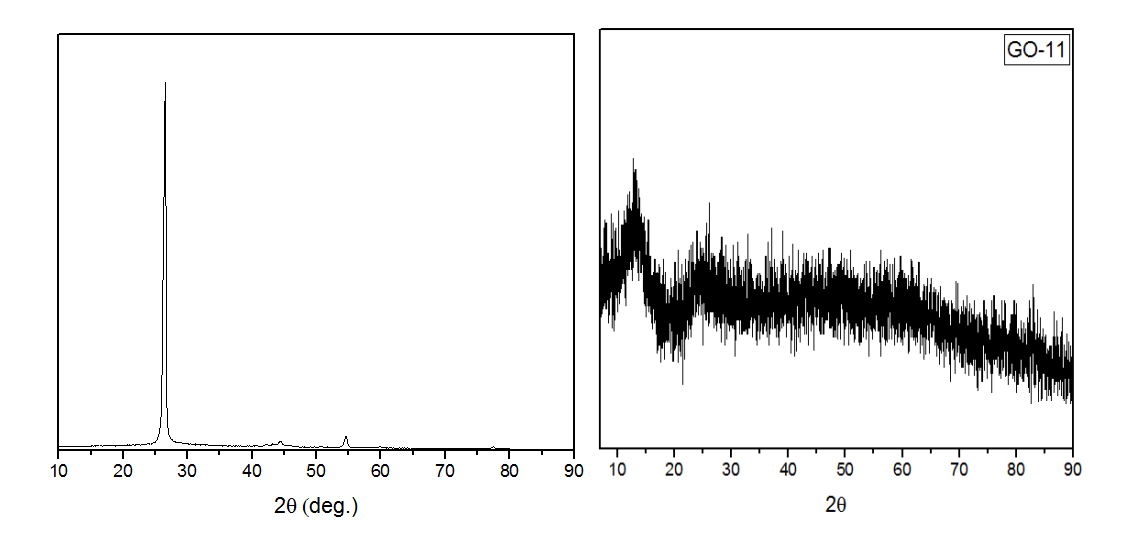
Figura 9 - Carvão ativado (a) superfície e (b) poros.



4.2.2 Difração de Raios-X

O padrão de difração de raios-X (DRX) do grafite, Figura 11(a), apresentou o esperado pico em 26,47 °, de intensidade elevada, que corresponde à distância entre os planos (002), d₀₀₂ = 3,35 Å. Pode-se também observar dois picos de baixa intensidade em 44,6° e 54,37°. Depois da oxidação, o material apresentou um pico bastante alargado em 10,9° (d₀₀₂= 6,0 Å), como mostra a Figura 11(b). Este fato está relacionado ao aumento na distância interplanar para o espaçamento basal. O aumento da distância interplanar pode ser explicado devido ao aumento no grau de oxidação do grafite, quando da introdução de grupos oxigenados na estrutura (LI *et al.*, 2010; TANG *et al.*, 2012).

Figura 10 - Difratogramas do (a) grafite precursor e (b) óxido de grafeno.



A Figura 12 mostra o difratograma do óxido de grafeno reduzido (rGO). Pode-se perceber que há um grande alargamento do pico referente ao plano (002) em 29,17°, além de uma diminuição na intensidade do pico em 2θ de 44,33° que pode ser comparado com o plano remanescente (101). Há, portanto, uma indicação que o material volta a ter a estrutura tridimensional do grafite de forma menos organizada, possivelmente devido à redução no número de camadas grafíticas. A ausência do pico 2θ em 10,9° sugere que a grande maioria dos grupos funcionais de oxigênio na região basal não está mais presente.

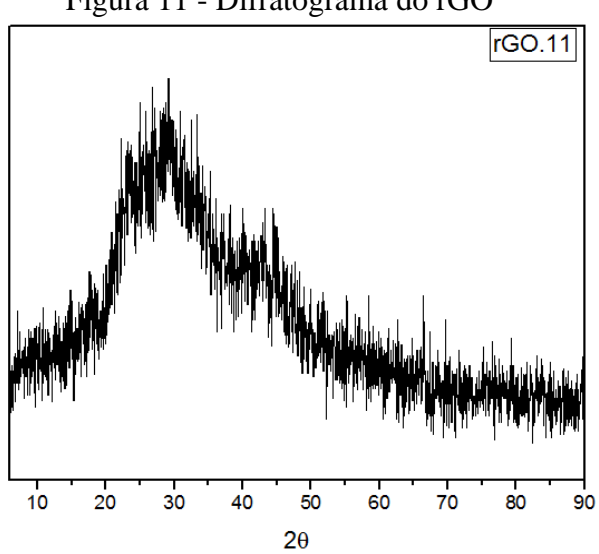


Figura 11 - Difratograma do rGO

No padrão de DRX do XGnP, Fig. 13, pode se observar os picos em 2θ iguais a 26,5° e 54,6°, referentes aos planos (002) e (004) do grafeno, além do plano (101) em 44,5° (MU et al., 2013; SUN et al., 2008; HU, 2005). Todos esses picos são característicos do grafite. O plano (002) é bastante estreito e intenso. Essa análise indica, portanto, a presença de domínios cristalinos de tamanho considerável.

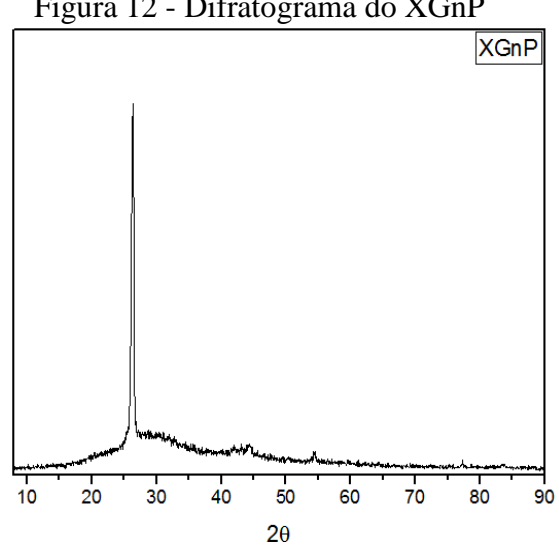
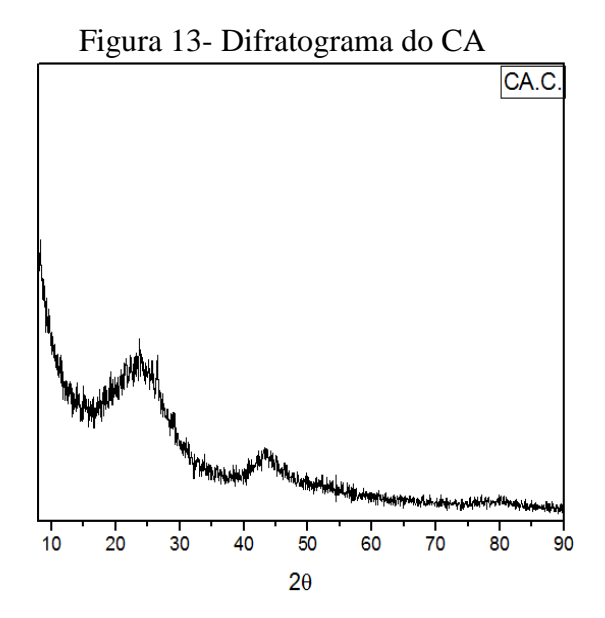


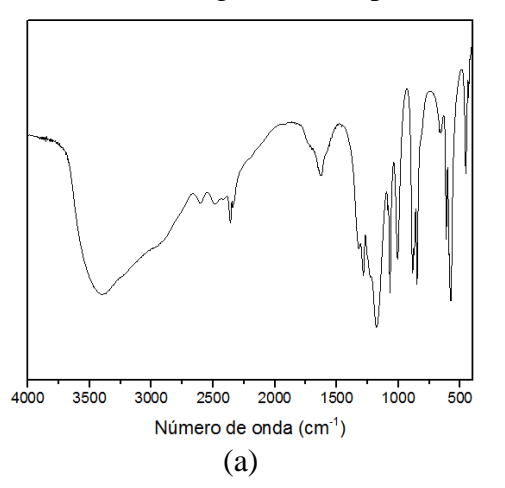
Figura 12 - Difratograma do XGnP

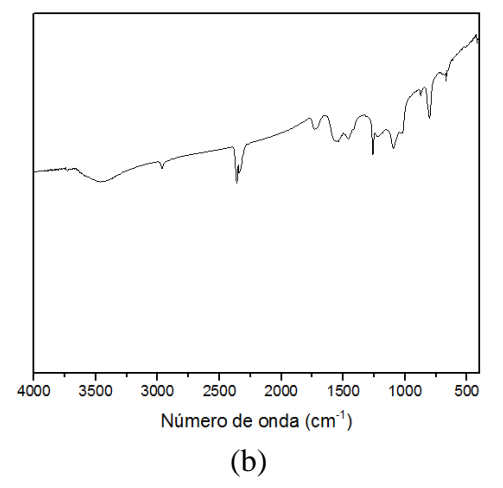
No padrão de DRX do carvão ativado, Figura 14, observam-se picos alargados na região de 2θ de 23,6978° e 43,3899° característicos de um material com baixa cristalinidade. Isto é condizente com o que se espera do carvão ativado, em que uma fração significativa dos átomos de carbono estão no estado sp³, aumentando ligeiramente a distância interplanar e desordenando os domínios grafíticos de tamanho reduzido (HAN et al., 1998).



4.2.3 Espectroscopia no Infravermelho por Transformada de Fourier Na Figura 15 são mostrados os espectros de FTIR para o GO e para o rGO.

Figura 14 - Espectros FTIR dos materiais: (a) GO e (b) rGO



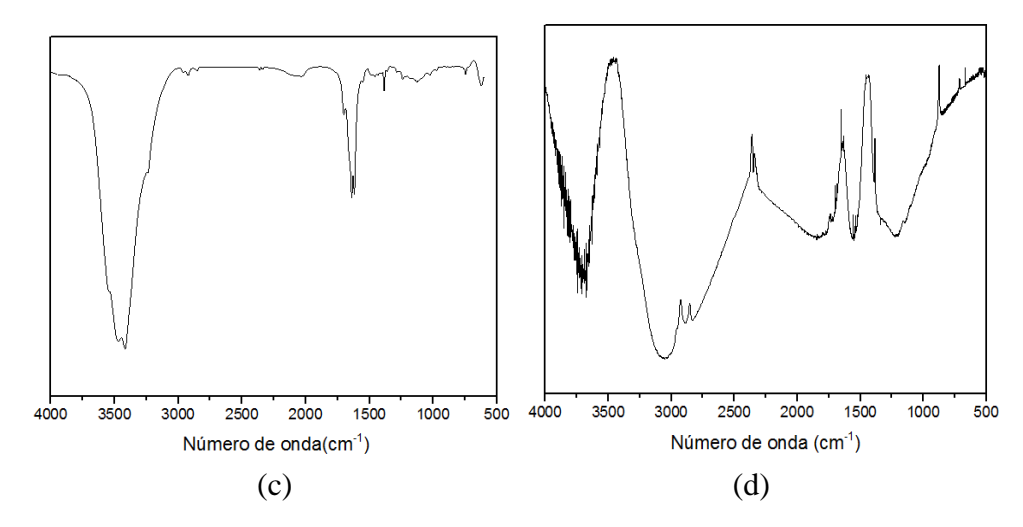


Os espectros no infravermelho do GO e do rGO apresentaram bandas em 620 cm⁻¹ e 650 cm⁻¹, que podem ser atribuídas à deformação O-H. As bandas na região de 3360 cm⁻¹ são característica do estiramento da hidroxila (OH). A presença desse grupo funcional é devido a possíveis pontes de hidrogênio na rede do carbono e de alguns grupos hidroxilas ligadas ao carbono.

A banda em 1732 cm⁻¹ é característica do grupo C=O, presente nas cetonas; a banda em 1620 cm⁻¹ é devido a um estiramento no plano referente à hibridação sp² do carbono; a banda em 1414 cm⁻¹ deve-se ao estiramento característico da hidroxila ligada à rede do carbono (C-OH), e pode ser devido também a presença de cetona ou epóxido; a banda em 1080 cm⁻¹ é atribuída aos ésteres ou álcoois (C-O). Observa-se que a algumas bandas

desaparecem ou diminuem significativamente a banda em 3360 cm⁻¹, característica do estiramento da hidroxila (OH), a banda em 3000 cm⁻¹ pode ser atribuída à ligação sp³ (C-H). Os resultados indicam que o rGO ainda possui a maioria dos grupos oxigenados que são mostrados na amostra de GO e somente com os espectros de infravermelho não se pode afirmar que a houve redução por boro hidreto (WOJTONISZAK *et al.*, 2012).

Figura 15 - Espectros de infravermelho do (c) XGnP e (d) CA



Os espectros no infravermelho do XGnP e do CA (Figura 16) apresentaram bandas largas de absorção na região aproximada de 3447 cm⁻¹, que podem ser atribuídas ao estiramento axial de grupos O-H. Segundo GUILARDUCE *et al.*, (2006) esta banda pode ser atribuída à presença de grupos fenólicos. A intensidade das bandas largas de absorção na região entre 3400 cm⁻¹ e 3500 cm⁻¹ nos dois materiais estão relacionadas à presença de água adsorvida

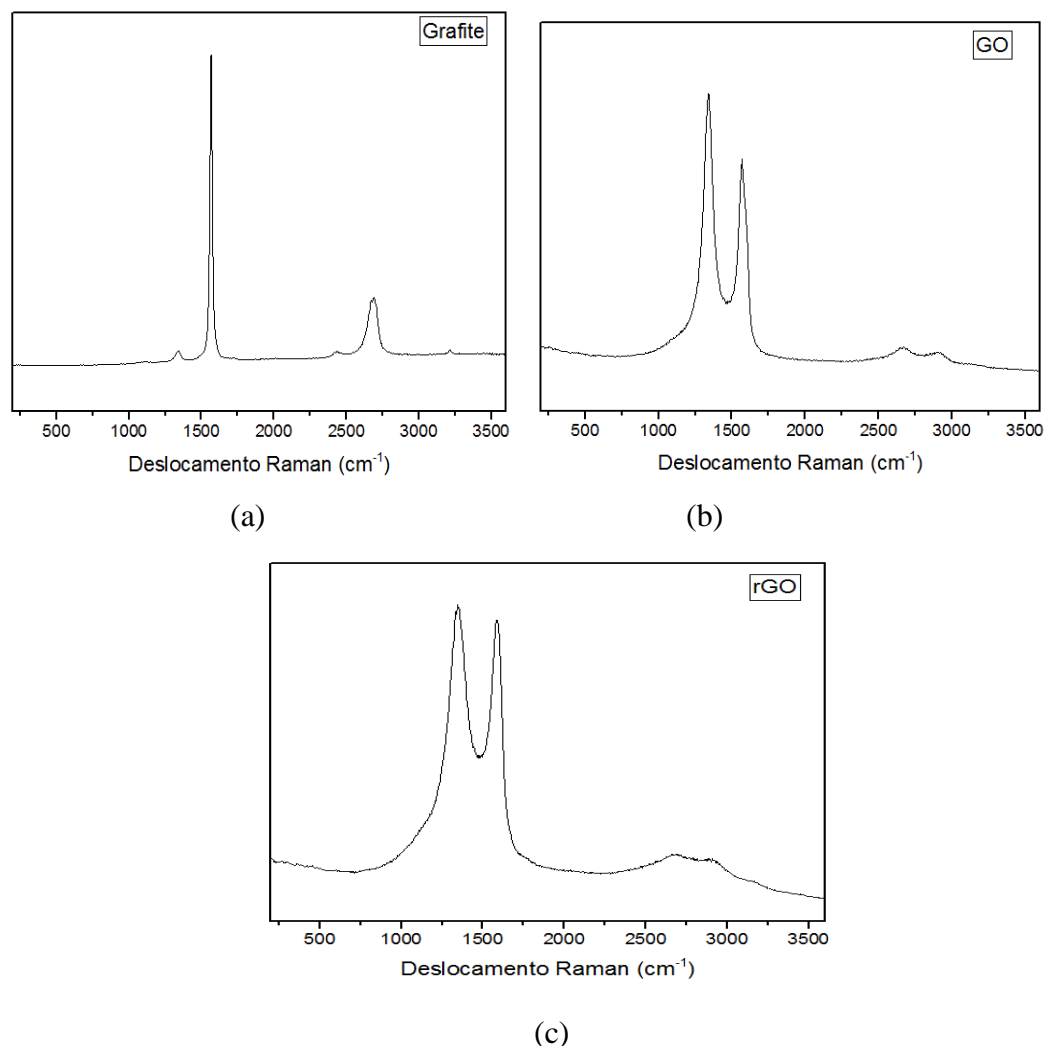
Bandas situadas na região 1380 cm⁻¹ e 1117 cm⁻¹ podem ser atribuídas às vibrações de deformação O-H e de estiramento C-O, presentes em compostos fenólicos (SHEN *et al.*, 2015). Estas bandas estão presentes no XGnP e no CA, Figura 16(a) e Figura 16(b), respectivamente.

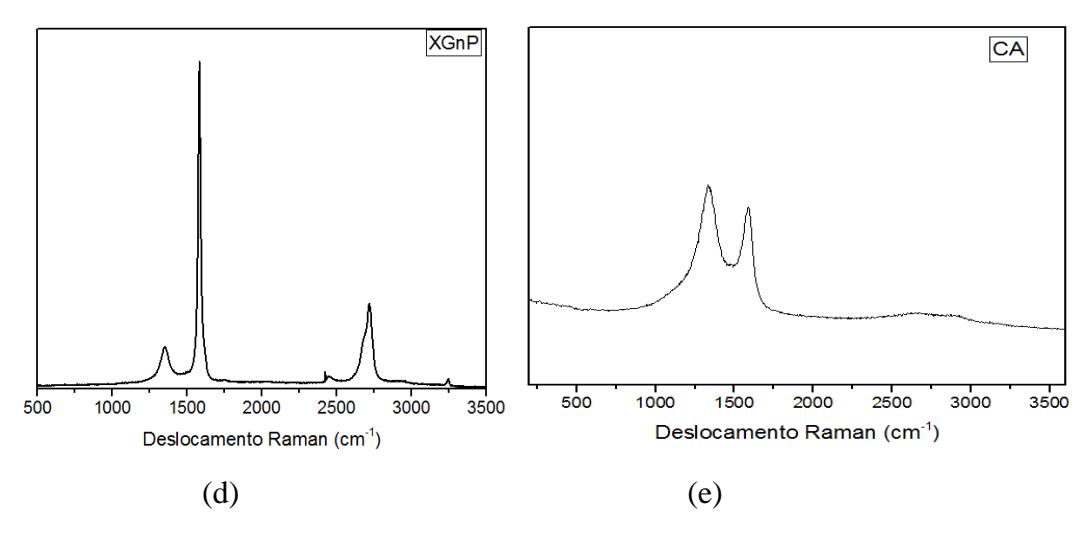
No CA foram também observadas bandas de absorção na região aproximada de 1637 cm⁻¹ e 1618 cm⁻¹ as quais, segundo CAMBUIM (2009), estão associadas ao estiramento C=C de olefinas. As bandas em 620 cm⁻¹ podem ser atribuídas à deformação O-H fora do plano (BAI *et al.*, 2015).

4.2.4 Espectroscopia Raman

A espectroscopia Raman é uma ferramenta não destrutiva muito utilizada para caracterizar materiais carbonáceos, particularmente para enfatizar a diferença entre estruturas cristalinas ordenadas e desordenadas de carbono. A banda G pode ser relacionada com as vibrações C-C do grafite, as quais estão presentes nos materiais carbonáceos. Por outro lado, a banda D tem relação com a desordem da estrutura hexagonal do grafite ou banda amorfa.

Figura 16 - Espectros Raman do (a) Grafite, (b) óxido de grafeno, (c) óxido de grafeno reduzido, (d) XGnP e (e) carvão ativado.





Os espectros Raman do grafite (Figura 17(a)) e do XGnP (Figura 17(d)), apresentam três picos característicos. O pico D (~1343 cm⁻¹), o pico G (~1576 cm⁻¹) e pico 2D (~2702 cm⁻¹). Além desses picos observamos com intensidades baixas os picos: 2D' (~3240 cm⁻¹) e D+D" (~2437 cm⁻¹). Os espectros Raman apresentados evidenciam uma diferença na intensidade de pico D e G, para os materiais sintetizados. Esta diferença está relacionada com a desorganização na estrutura do material, aumentando assim a contribuição do pico D. No caso do grafite precursor, o sinal Raman referente à banda D é muito baixo comparado ao da banda G, o que caracteriza um material de elevado grau de cristalinidade.

Por outro lado, a banda D das amostras de GO (Figura 17(b)) e rGO (Figura 17(c)) aparecem com intensidades maiores (relativas à intensidade da banda G), indicando materiais estruturalmente menos organizados. O sinal da banda D referente ao óxido de grafeno e ao óxido de grafeno reduzido que aparece mais intenso indica um material estruturalmente mais desorganizado. Isso se deve ao processo de esfoliação química do grafite que incorpora os grupos oxigenados pela oxidação do grafite, causando o afastamento entre as folhas.

Ainda com base nos resultados do Raman, a razão entre as intensidades das bandas D e G (I_D/I_G), I_D/I_G foi 0,17 para grafite, 1,18 para GO, 1,05 para rGO, 0,31 para XGnP e 1,12 para CA, indicando que houve um aumento no grau de defeitos para o GO.

4.2.5 Medidas de adsorção com nitrogênio

Foram obtidas isotermas de adsorção e dessorção de N_2 a 77 K para os adsorventes. Os resultados dessas análises resultaram na área superficial especifica (S_A) de $166~m^2g^{-1}$ para GO, $290~m^2g^{-1}$ para rGO, $90~m^2g^{-1}$ para XGnP e $1189~m^2g^{-1}$ para CA.

As isotermas de adsorção/dessorção N₂ mostraram que o GO, Figura 18(a), rGO, Figura 18(b), e XGnP, Figura 18(c), exibem o comportamento de um material com estrutura de partículas em placas (poros em formato de fenda), com histerese do tipo H3 de acordo com a classificação IUPAC (WU et al., 2014). Por outro lado, o carvão ativado (Figura 18(d)) apresentou uma histerese do Tipo H4, observada em estruturas com poros de fendas estreitas incluindo poros na região microporosa (LIU et al., 2013). Esses resultados puderam ser confirmados pelo que foi observado incialmente na microscopia eletrônica de varredura.

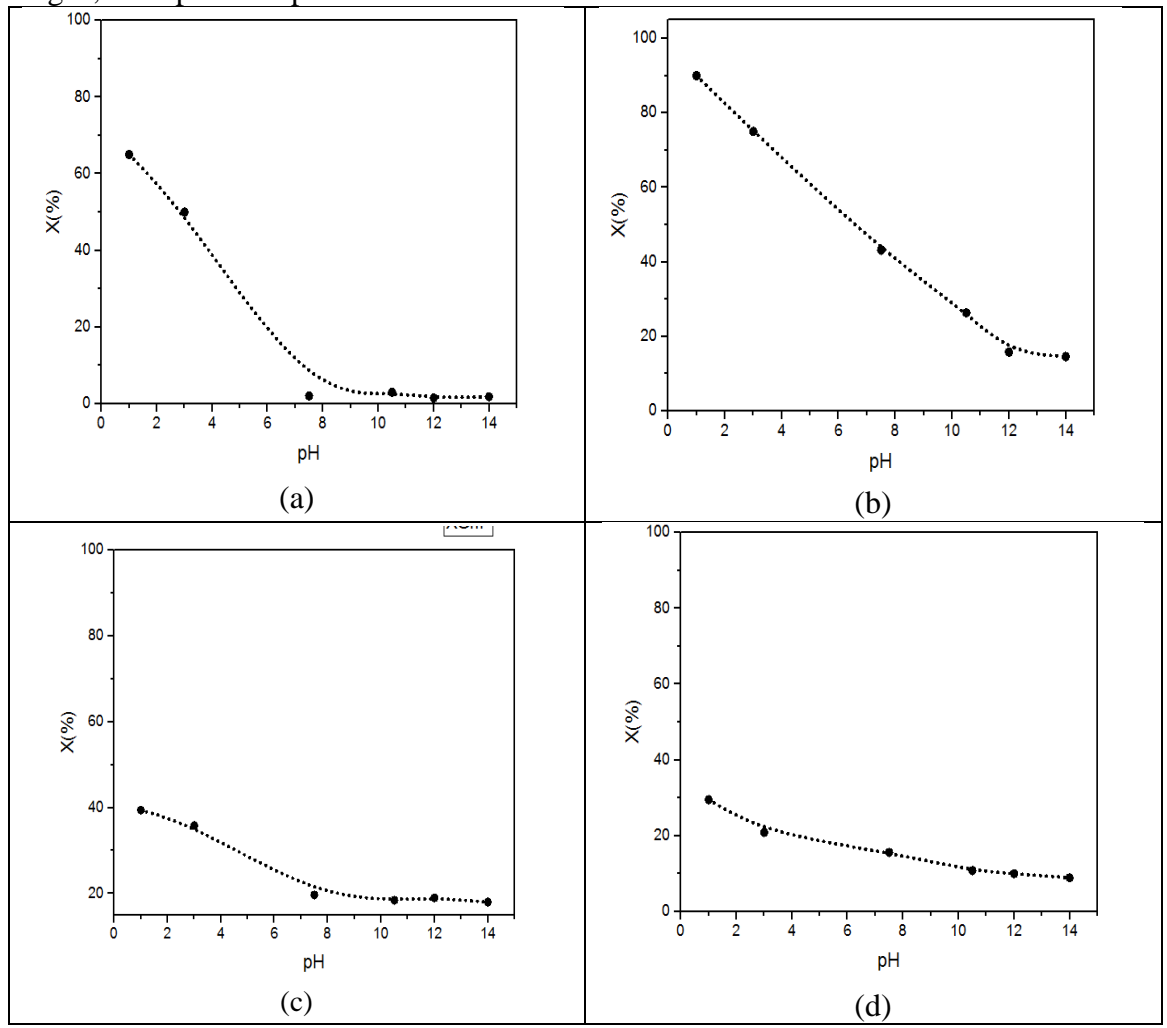
Figura 17 - Curva de adsorção/dessorção do (a) GO, (b) rGO, (c) XGnP e (d) CA. 700 120 600 100 (cm₃/g) 80 400 60 300 40 200 20 100 0,4 0,6 0,8 1,0 0,4 0,6 0,8 1,0 P/P (P/Po) (b) (a) 35 400 30 380 360 (cm3/g) 340 320 10 300 280 0,2 0,4 0,6 0.8 1,0 0,8 0,2 0,4 0,6 1,0 (P/Po) P/P_o (c) (d)

4.2.6 Influência do pH

A eficiência da remoção do corante SFGL pelos materiais GO, rGO, XGnP e CA foi avaliada por intermédio do efeito do pH. Observou-se que a variação do pH apresentou efeito significativo sobre a remoção do corante (Figura 19). Os resultados, para todos os materiais estudados, indicam uma diminuição da eficiência de remoção com o aumento do pH e para valores mais baixos de pH, verificou-se que a remoção foi maior.

Figura 18 - Efeito do pH sobre a adsorção do corante SFGL pelos materiais (a) GO, (b) rGO, (c) XGnP e (d) CA. Condições experimentais T=25 °C; m=0.05g; $C_{corante}=50.00$

mg/L; 440 rpm. Tempo 120 min.



Em pH 14 a eficiência foi aproximadamente de 2% para o GO, 14% para o rGO, 18% para o XGnP e 9% para o CA. Por outro lado, em valores de pH mais ácido, a remoção foi mais acentuada, atingindo eficiências máximas de aproximadamente 65% para o GO, 90% para o rGO, 29% para o XGnP e 39% para o CA. Esse comportamento está associado ao caráter aniônico do corante, que interage de forma acentuada com os grupos de carga positiva na superfície dos materiais, através de forças de van der Waals (RAMESHA *et al.*, 2011). Baseado nesses resultados, o pH 3,5 foi selecionado para os ensaios subsequentes de cinética e equilíbrio de adsorção. O uso do pH ácido se justifica devido à tendência de maior remoção dos corantes aniônicos em meio reacional predominantemente ácido, que dispõe de mais cargas positivas (KOSITZI *et al.*, 2004).

Em sistemas que utilizam corantes de caráter catiônico, como os reportados por LI *et al.* (2013), que estudaram o efeito do pH de remoção do corante azul de metileno em carvão ativado, em óxido de grafeno e em nanotubos de carbono, verificaram que a eficiência de remoção do corante aumentou com um pH alcalino. Esses autores também justificam a interação entre o corante e as superfícies devido à maior interação eletrostática entre cargas opostas.

4.2.7 Ponto de Carga Zero (PCZ)

A determinação do ponto de carga zero foi realizada para os quatro materiais estudados, a partir do qual o valor pôde ser estimado conforme mostrado na Tabela 2.

	1	\mathcal{E}
Materiais	рН	PCZ
GO	~3,5	6,3
rGO	~3,5	4,5
XGnp	~3,5	3,8
CA	~3,5	7,5

Tabela 2 - Efeito do pH no Ponto de Carga Zero.

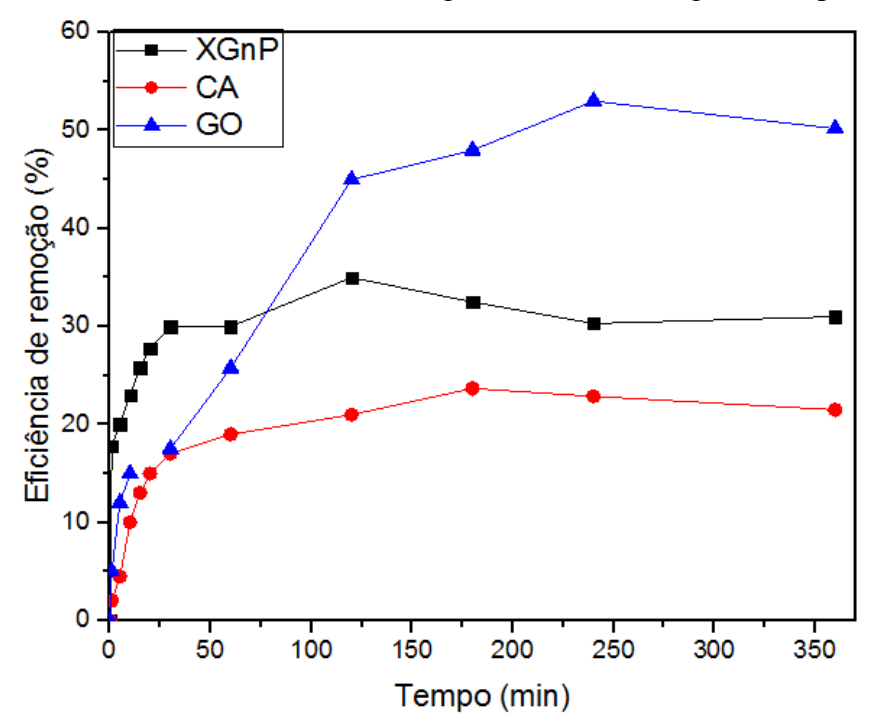
De acordo com a tabela 2, os valores de PCZ revelam que o GO, rGO e XGnP possuem superfícies carregadas negativamente e o CA foi o único que apresentou superfície carregada positivamente. De acordo com a teoria, a superfície do material carbonáceo é positivamente carregada quando o pH da solução é menor que o PCZ e negativamente carregada quando o pH da solução é mais alto que o PCZ. Por este motivo, os resultados obtidos nos estudos iniciais do pH, mostraram uma melhor eficiência de remoção quando em soluções mais ácidas. Com base nesses resultados, pode-se afirmar que o melhor pH de uma melhor adsorção mais eficiente ocorrerá em pH mais baixo que o PCZ, para sistemas de corantes aniônicos e adsorventes.

4.2.8 Cinética

Estudos cinéticos de adsorção foram analisados para os materiais GO, XGnP e CA como adsorventes do corante SFGL. Os sistemas foram avaliados sob as mesmas condições operacionais indicadas na Figura 21. Verificou-se que o tempo de contato tem forte influência na adsorção de cada material. A eficiência máxima de remoção para os materiais foi observada em um tempo de contato de 120 min para o XGnP, de 180 min para o CA e de 240 min para o GO. A evolução da eficiência máxima de remoção nessas condições foi de aproximadamente 20% para o CA, de 54% para o GO e 35% para o XGnP.

Observa-se, também, que nos tempos iniciais de contato a remoção ocorre de forma muito rápida para os materiais estudados. É possível concluir que em um tempo de 240 min de contato adsorvato/adsorvente os sistemas atingem o equilíbrio.

Figura 19 - Comportamento experimental da cinética de adsorção do corante SFGL pelos materiais GO, XGnP e CA. T= 25°C; m= 0,05 g; C_{corante}= 60,00 mg/L; 440 rpm.



Baseado nos experimentos da cinética adotou-se o tempo de equilíbrio de 240 min para todos os materiais estudados.

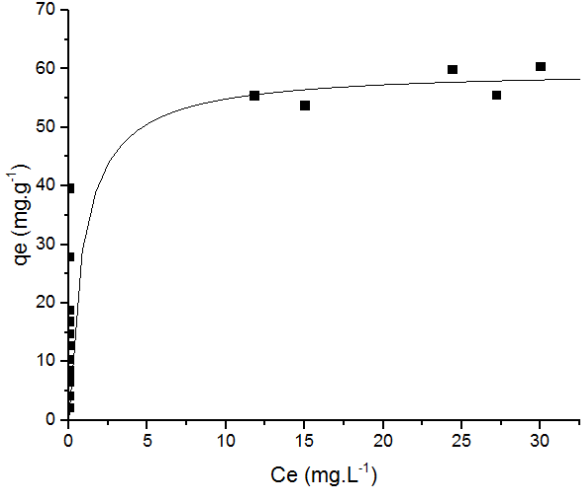
4.2.9 Equilíbrio de adsorção

O estudo do equilíbrio foi realizado para a adsorção do corante nos quatro materiais carbonáceos. Para escolher o modelo que melhor se ajusta aos resultados experimentais

obtidos, inicialmente foram traçados os perfis para a verificação da tendência do comportamento das curvas de equilíbrio e, em seguida, o ajuste dos modelos adequados. As Figuras 22 a 25 mostram os dados experimentais calculados por modelos diferentes para todos os materiais. As isotermas apresentadas indicam uma alta afinidade entre a superfície do adsorvente e as moléculas do corante. Os adsorventes removem efetivamente o corante a baixas concentrações iniciais, com eficiência progressivamente decrescente para concentrações mais elevadas.

Pela curva da isoterma do GO (Figura 22), do tipo I pela classificação da IUPAC, observa-se que pode ter ocorrido adsorção apenas na monocamada. Este tipo de isoterma é comum em materiais microporosos (JIANG *et al.*, 2016; PENG *et al.*, 2016), sendo ajustado pelo modelo de Langmuir, assumindo os seguintes parâmetros: q_m de 59,89 ± 1,46, K_L de 1,0 ± 0,52 e R² de 0,997. Devido à morfologia mais uniforme apresentada pelo MEV do GO, é possível que a energia de adsorção entre os sítios ativos presentes no material e as moléculas do corante ocorra de forma equivalente., logo, os dados experimentais terem melhor se ajustados ao modelo de Lagmuir, o qual preconiza monocamada e energia de adsorção equivalente em todos os sítios ativos.

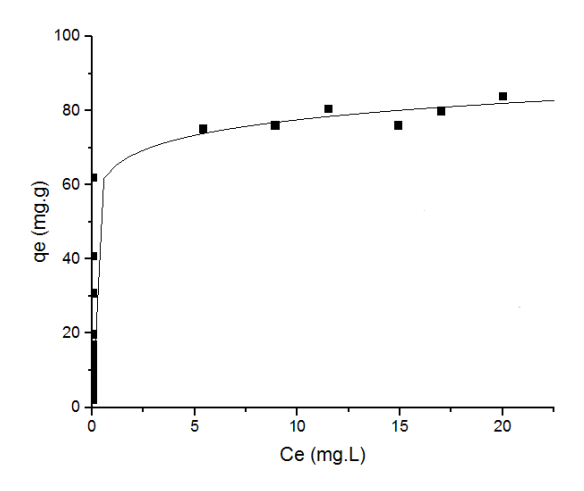
Figura 20 - Modelagem do equilíbrio de adsorção SFGL/GO: ajuste dos dados experimentais ao modelo de Langmuir.



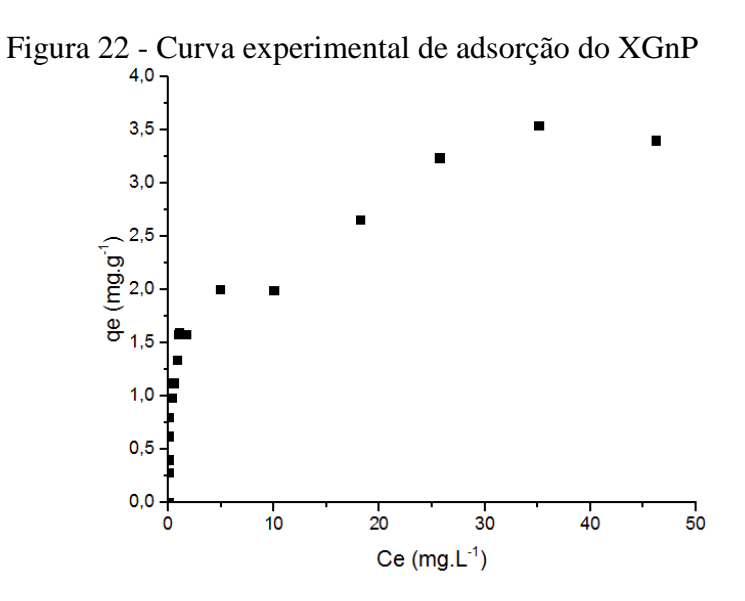
De acordo com o que é visto na literatura o resulto é do rGO (Figura 22) tem uma maior afinidade para adsorver o corante aniônico atingindo uma maior adsorção frente aos demais adsorventes. Esse fenômeno pode ser explicado pelas interações eletrostáticas entre a superfície do rGO que está carregada positivamente com os grupos orgânicos presentes do corante aniônico que estão carregados negativamente. A isoterma teve um

comportamento classificado como do tipo II, que são isotermas comuns em materiais mesoporosos e não-porosos, pela classificação da IUPAC (RAMESHA et~al., 2011). Dessa forma, o ajuste dos dados experimentais foi melhor representado pela equação de Freundlich, que apresentou valores de K_F de 64,49 \pm 4,8, n de 12,49 \pm 1,5 e R^2 de 0,997. Devido à estrutura não uniforme do rGO, como apresentada no MEV, a energia de adsorção deste material possivelmente não é homogênea em toda sua superfície. A isoterma assume um perfil de Freundlich, o qual reporta a heterogeneidade da superfície e, portanto, energias de adsorção variadas.

Figura 21 - Modelagem do equilíbrio de adsorção SFGL/rGO: ajuste dos dados experimentais ao modelo de Freundlich.

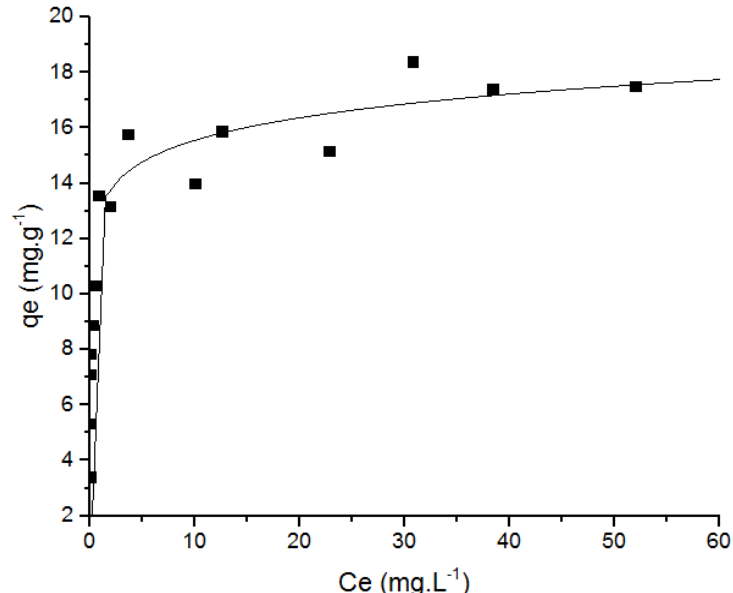


Para o XGnP, mostra-se na Figura 24 apenas a curva experimental de adsorção, pois nenhum dos modelos testados mostrou-se satisfatório.



O carvão ativado (Figura 25) apresentou isoterma classificada como do tipo I, que são isotermas comuns em materiais microposoro. o ajuste dos dados experimentais foi melhor representado pela equação de Freundlich, que apresentou valores de K_F de 13,12 \pm 0,62, n de 13,60 \pm 2,97 e R^2 de 0,997. Possivelmente a pequena quantidade adsorvida pelo carvão ativado, comparando com os outros materiais, se deve ao fato do CA apresentar regiões microporosas que, frente ao tamanho da molécula do corante (relativamente grande), dificultaram o acesso destas aos sítios de adsorção. Além disto, é possível também que seus grupos superficiais não tenham afinidade com o corante estudado. Apesar de apresentar uma grande área superficial (1118 m^2/g), a presença dos microporos de diâmetro médio de 31,79 Å não favoreceu a acomodação da molécula nestas superfícies.

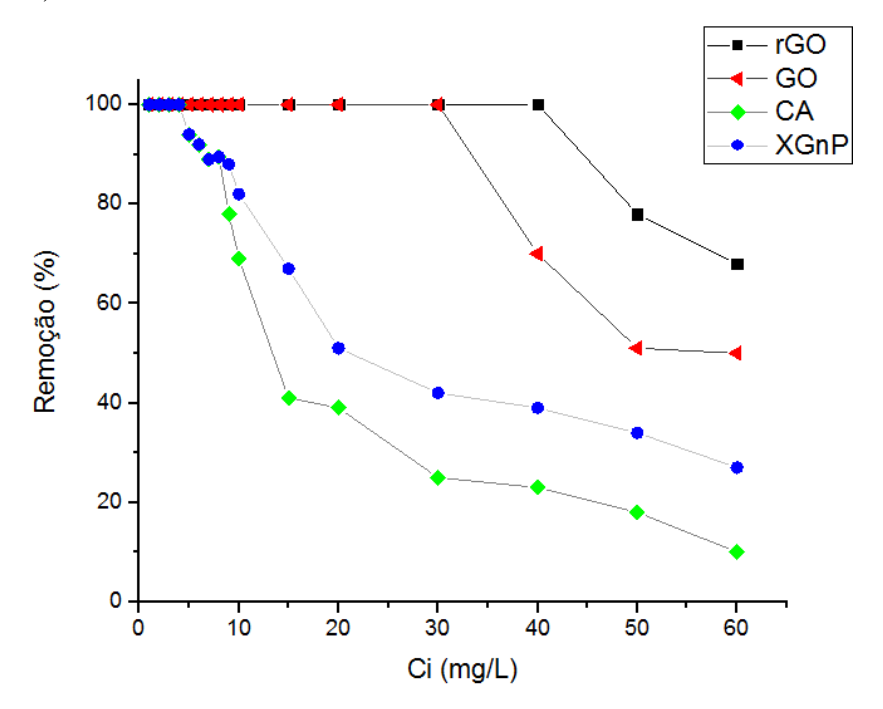
Figura 23 - Modelagem do equilíbrio de adsorção corante-CA: ajuste dos dados experimentais ao modelo de Freundlich.



Com base nos dados apresentados na Figura 26, pode-se observar que o rGO é o melhor adsorvente para o corante SFGL, apresentando uma boa eficiência de remoção. Esse comportamento já é esperado para o rGO devido aos grupos presentes na superfície do material, que têm maior afinidade com a molécula do corante (Shen *et al.*, 2015). Apesar de o carvão ativado ter apresentado maior área superficial entre os adsorventes

estudados, ele é o que menos adsorve. Isto pode estar relacionado ao fato do material (em particular seus grupos de superfície) não ter afinidade com o corante em estudo.

Figura 24 - Comparação da eficiência de remoção do corante com os materiais (GO, rGO, XGnP e CA).



5 CONCLUSÕES

O presente trabalho demonstrou que o óxido de grafite (GO) e o óxido de grafeno reduzido (rGO) são excelentes materiais para serem utilizados como adsorvente. As imagens de MEV, os espectros de FTIR e os difratogramas de raios-X do GO e rGO confirmaram a obtenção dos materiais com as significantes mudanças sofridas em suas estruturas.

Foi confirmado que em valores de pH mais baixos (meio ácido) a remoção do corante Indosol Azul aumenta significativamente. Os resultados mostraram que o pH do meio que mais favoreceu a remoção do corante pelos materiais (GO, rGO, XGnP e CA) foi em meio ácido (aproximadamente pH 3,5) podendo indicar que interações entre o corante e as superfícies dos materiais foram favorecidas pela afinidade entre as estruturas aniônicas do corante e a superfície carregada positivamente dos materiais.

Os dados obtidos dos estudos de equilíbrio de adsorção do corante Indosol Azul SFGL pelos materiais (GO, rGO, XGnP e CA) apontaram para isotermas características do modelo de Langmuir e Freundlich.

6 PERSPECTIVA

Sugestões para estudos futuros incluem:

- Avaliar a reutilização dos materiais sintetizados;
- Aplicar os materiais (GO e rGO) em efluente real;
- Estudar o comportamento do material com outros corantes;
- Quantificar os grupos de superfície;
- Estudar o comportamento da adsorção variando a temperatura;

REFERÊNCIAS

- ABBASSI, R.; YADAV, A. K.; KUMAR, N.; HUANG, S.; JAFFE, P. R. Modeling and optimization of dye removal using "green" clay supported iron nano-particles. *Ecol. Eng.* 61, pp.366–370, 2013.
- ACIK, M.; CHABAL, Y.J. A review on reducing graphene oxide for band gap engineering, *J. Mater. Sci. Res.* 2, pp.101-112, 2013.
- ATKINS, P. W.; JONES, L. Físico-química. v. 3, 7 ed. LTC, Rio de janeiro, 2009.
- BAI, L.; LI, Z.; ZHANG, Y.; WANG, T; LU, R.; ZHOU, W.; GAO, H.; ZHANG, D. Synthesis of water-dispersible graphene-modified magnetic polypyrrole nanocomposite and its ability to efficiently adsorb methylene blue from aqueous solution. *Chem. Eng. J.* 279, pp.757–766, 2015.
- BAGRI, A. et al. Structural evolution during the reduction of chemically derived graphene oxide. *Nature Chemistry*, v. 2, n. 7, p. 581–587, 2010.
- BANERJEE, D.; SARKAR, U.; ROY, D.; Multicomponent adsorption of chlorhexidine gluconate in presence of a cationic surfactant: Role of electrostatic interactions and surface complexation. *Journal of Environmental Chemical Engineering*,p. 241-251, 2013.
- BARRET, E.P.; JOYNER, L.G.; HALENDA, P.P.; The determination of pore volume and area distributions in porous substances. I. Computations from nitrogen isotherms., J. Am. Chem. Soc. 73, pp.373-380, 1951.
- BERGER C.; SONG Z. M.; LI X.B.; WU X. S.; BROWN N.; NAUD C. Electronic confinement and coherence in patterned epitaxial graphene. *Science*; 312:1191–8, 2006.
- BIANCO A, CHENG HM, ENOKI T, GOGOTSI Y, HURT RH, KORATKAR N. All in the graphene family a recommended nomenclature for two-dimensional carbon materials. *Carbon 65*, pp.60–3, 2013.
- CAMBUIM, K. B. Carvão de endocarpo de coco da baía ativado quimicamente com h3po4 e fisicamente com vapor d'água: produção, caracterização e aplicações. 2009. *Tese (Doutorado) Universidade Federal da Paraíba, João Pessoa*, PB.
- CALAS-BLANCHARD, C.; NOGUER, T.; COMTAT, M.; MAURAN, S.; MARTY, J.L. Potentialities of expanded natural graphite as a newtransducer for NAD dependent dehydrogenase amperometric biosensors, *Anal. Chim. Acta 484*, pp.25–31 2003.
- CARDOSO, N. F.; PINTO, R. B.; LIMA, E. C.; CALVETE, T.; AMAVISCA, C. V.; ROYER, B.; CUNHA, M. L.; FERNANDES, T. H. M.; PINTO, I. S. Removal of

- remazolblack B textile dye from aqueous solution by adsorption. *Journal Science Desalination* 269, p. 92-103, 2011.
- CARVALHO, M. N. et al. Evaluation of BTEX and phenol removal from aqueous solution by multi-solute adsorption onto smectite organoclay. Occurrence and fate of emerging contaminants in municipal wastewater treatment systems, v. 239–240, n. 0, p. 95–101, 15 nov. 2012.
- CHUA, C. K.; PUMERA, M. Chemical reduction of graphene oxide: a synthetic chemistry viewpoint. Chemical Society reviews, v. 43, n. 1, p. 291–312, 2014.
- CONDON, J. B. Surface Area and Porosity Determination by Physisorption. Measurements and Theory, 1st Ed. Elsevier, 2006.
- DUTTA, D.; THIYAGARAJAN, S.; BAHADUR, D.; SnO₂ Quantum dots decorated reduced graphene oxide nanocomposites for efficient water remediation, *Chem. Eng. J.* 297, pp.55-65, 2016.
- FERNÁNDEZ-MERINO, M.J.; GUARDIA, L.; PAREDES, J.I.; VILLAR-RODIL, S; SOLÍS-FERNÁNDEZ, P.; MARTÍNEZ-ALONSO, A. Vitamin C is an ideal substitute for hydrazine in the reduction of graphene oxide suspensions, *J. Phys. Chem. C*, 114 (14), pp. 6426–6432, 2012.
- FU, Y.; ROMAYA, V.; LIUA, Y.; IBARLUCEAA, B.; BARABANA, L.; KHAVRUS, V.; OSWALD, S.; BACHMATIUK, A.; IBRAHIM, I.; RÜMMELI, M.; GEMMING, T.; BEZUGLYA, V.; CUNIBERTI, G. Chemiresistive biosensors based on carbon nanotubes for label-free detection of DNA sequences derived from avian influenza virus H5N1. *Sensors and Actuators B 249*, pp. 691–699, 2017.
- GREGG, S.J.; SING, K.S.W.; Adsorption, Surface area and Porosity, Academic Press, 2^a Ed., London, 1982.
- GUILARDUCI, V. V. S. Estudo da adsorção de fenol em carvão ativado. 2005. Dissertação (Mestrado) - Universidade Federal de São João del-Rei, São João del-Rei.
- GUPTA, A.; SAKTHIVEL, T.; SEAL, S. Recent development in 2D materials beyond graphene. *Progress in Materials Science*, v. 73, p. 44–126, 2015.
- HAN J.H.; CHO, K.W.; LEE, K.-H.; KIM, H. Porous graphite matrix for chemical heat pumps. *Carbon 36*, 12, pp.1801–1810, 1998.
- HE, F.; FAN, J.; MA, D.; ZHANG, L.; LEUNG, C.; CHAN, H.L. The attachment of Fe₃O₄ nanoparticles to graphene oxide by covalent bonding, *Carbon 48*, pp.3139–3144, 2010.
- HUMMERS JR. W. S.; OFFEMAN, R. E. Preparation of graphitic oxide. *Journal of the American Chemical Society*, v. 80, n. 6, p. 1339-1339, 1958.

- HU, S.H., X-ray diffraction of multi-layer graphenes: Instant measurement and determination of the number of layers., *Carbon 78*, pp. 617-621, 2014.
- INTERNATIONAL UNION PURE APPLIED CHEMISTRY. Handbook, Columbus. V. 54, p. 2201, 1982.
- INTERNATIONAL UNION PURE APPLIED CHEMISTRY. Handbook, Columbus. V. 54, p. 2201, 1985.
- JIAO, X.; ZHANG, L.; QIU, Y.; GUAN, J. Comparison of the adsorption of cationic blue onto graphene oxides prepared from natural graphites with different graphitization degrees, *Colloids and Surfaces A: Physicochem. Eng. Aspects*, 2017.
- JIANG, L.-H.; LIU, Y.-G.; ZENG, G.-M.; XIAO, F.-Y.; HU, X.-J.; HU, X.; WANG, H.; LI, T.-T.; ZHOU, L.; TAN, X.-F. Removal of 17b-estradiol by few-layered graphene oxide nanosheets from aqueous solutions: External influence and adsorption mechanism, *Chemical Engineering Journal* 284, p.93–102, 2016.
- KIM, H. W.; KWONA, Y. J.; MIRZAEI, A.; KANGA, S. Y.; CHOI, M. S.; BANGA, J. H.; KIM, S. S. Synthesis of zinc oxide semiconductors-graphene nanocomposites by microwave irradiation for application to gas sensors, *Sensors and Actuators B* 249, pp.590–601, 2017.
- KIM, H; KANG, S-O.; PARK, S.; HO, S. P. Adsorption isotherms and kinetics of cationic and anionic dyes on three-dimensional reduced graphene oxide macrostructure, *Journal of Industrial and Engineering Chemistry 21*, pp.1191–1196, 2015.
- KONICKI, W.; MAŁGORZATAMOSZYŃSKI, A.; MIJOWSKA, D.; MIJOWSKA, E. Adsorption of anionic azo-dyes from aqueous solutions onto graphene oxide: Equilibrium, kinetic and thermodynamic studies *Journal of Colloid and Interface Science* 496, pp.188–200, 2017.
- KOSITZI, M., ANTONIADIS, A., POULIOS, I., KIRIDIS, I. MALATO, S. Solar photocatalytic treatment of simulated dyestuff effluents, *Solar Energy* 77, 591–600, 2004.
- KWON, J.; LEE, B. Bisphenol A adsorption using reduced graphene oxide prepared by physical and chemical reduction methods. *Chemical Engineering Research and Design*, v.104, p.519–529, 2015.
- LEODOPOULOS, C.; DOULIA, D.; GIMOUHOPOULOS, K. Adsorption of cationic dyes onto bentonite. *Sep. Purif. Rev.* 44, pp.74–107, 2014.
- LI, W.; HAN, C.; LIU, W.; ZHANG, M.H.; TAO, K.Y. Expanded graphite applied in the catalytic process as a catalyst support. *Catal. Today 125*, pp.278–281, 2007.
- LI, Y.; DU, Q.; LIU, T.; PENG, X.; WANG, J.; SUN, J.; XIA, L. Comparative study of methylene blue dye adsorption onto activated carbon, graphene oxide, and carbon nanotubes. *Chemical Engineering Research and Design 91*, pp. 361–368, 2013.

- LIU, Y.; CHEN, J.; LI, W.; SHEN, D.; ZHAO, Y.; PAL, M.; YU, H.; TU, B.; ZHAO, D. Carbon functionalized mesoporous silica-based gas sensors for indoor volatile organic compounds. *Journal of Colloid and Interface Science* 477, pp.54–63, 2016.
- LU, Y.; YANG, X. Molecular simulation of graphene growth by chemical deposition on nickel using polycyclic aromatic hydrocarbons. *Carbon*, v. 81, p. 564-573, JAN 2015.
- LUCKING, A.D.; PAN, L.; NARAYANAN, D.L.; CLIFFORD, C.E.B. Effect of expanded graphite lattice in exfoliated graphite nanofibers on hydrogen storage, *J. Phys. Chem. B* 109, pp.710–12, 2005.
- MARRAKCHI, F.; AUTA, M.; KHANDAY, W.A.; HAMEED, B.H. High-surface-area and nitrogen-rich mesoporous carbon material from fishery waste for effective adsorption of methylene blue. *Powder Technology 321*, pp. 428-434, 2017.
- MEHL, H.; MATOS, C. F.; NEIVA, E. G. C.; DOMINGUES, S. H.; ZARBIN, A. J. G. Efeito da variação de parâmetros reacionais na preparação de grafeno via oxidação e redução do grafite, *Quim. Nova*, Vol. 37, N° 10, 1639-1645, 2014.
- MEMON, A. A.; ARBABA, A. A.; SAHITOA, I. A., MENGALA, N SUNC, .; K. C.; QADIRA, M. B.; CHOIA, Y. S.; JEONG, S. H. Facile fabrication of activated charcoal decorated functionalized multi-walled carbon nanotube electro-catalyst for high performance quasi-solid state dye-sensitized solar cells *Electrochimica Acta* 234, pp. 53–62, 2017.
- MINITHA, C.R.; LALITHA, M.; JEYACHANDRAN, Y.L.; SENTHILKUMAR, L.; RAJENDRA, K.R.T. Adsorption behaviour of reduced graphene oxide towards cationic and anionic dyes: Co-action of electrostatic and π – π interactions, *Materials Chemistry and Physics* 194, pp. 243-252, 2017.
- MONDAL, K.; AZAHAR, MD. A.; SINGHB, C.; SUMANA, G.; MALHOTRA, BANSI D.; SHARMA, A. Highly sensitive porous carbon and metal/carbon conducting nanofiber based enzymatic biosensors for triglyceride detection *Sensors and Actuators B* 246, pp. 202–214, 2017.
- MONDAL, O.; MITRA, S.; PAL, M.; DATTA, A.; DHARA, S.; CHAKRAVORTY, D. Reduced graphene oxide synthesis by high energy ball milling, *Materials Chemistry and Physics 161*, pp. 123-129, 2015.
- MORADI O.; ROBATI, D.; MIRZA, B.; RAJABI, M.; TYAGI, I.; AGARWAL, S.; GUPTA, V. K. Characteristics and electrical conduttivity of graphene and graphene oxide for adsorption of cationic dye fron liquids: kinetic and thermos. *Journal of industrial and engeneering chemistry*, 2015.
- MORIMOTO, N.; KUBO, T.; NISHINA, Y. Tailoring the Oxygen Content of Graphite and Reduced Graphene Oxide for Specific Applications, *Nature*, Scientific Reports, 2016.

- NASCIMENTO, R. F.; LIMA, A. C. A.; VIDAL, C. B.; MELO, D. Q.; RAULINO, G. S.C. *Adsorção: aspectos teóricos e aplicações ambientais*, 1ªEd., Imprensa Universitária, Copyright © 2014.
- NETPRADIT, S.; THIRAVETYAN, S.; TOWPRAYOON, P. Adsorption of three azo reactive dyes by metal hydroxide sludge: Effect of temperature, pH, and electrolytes. *Journal of Colloid and Interface Science* 270, pp. 255-261,2004.
- ONG, L. K.; SOETAREDJO, F. E.; KURNIAWAN, A.; AYUCITRA, A.; LIU, J. C.; ISMADJI, S. Investigation on the montmorillonite adsorption of biocidal compounds incorporating thermodynamical-based multicomponent adsorption isotherm. *Chemical Engineering Journal* 241, p. 9-18, 2014;
- PEI, S.; CHENG, H.-M. The reduction of graphene oxide, *Carbon 50*, p. 3210 –3228, 2012.
- PENG, W.; LI, H.; LIU, Y.; SONG, S. Adsorption of methylene blue on graphene oxide prepared from amorphous graphite: Effects of pH and foreign ions Journal of Molecular Liquids 221, pp.82–87, 2016.
- QI, Y.; YANG, M.; XU, W.; HE, S.; MEN, Y. Natural polysaccharides-modified graphene oxide for adsorption of organic dyes from aqueous solutions, *Journal of Colloid and Interface Science* 486, p. 84–96, 2017.
- QIU J.Y.K. Development of high surface area mesoporous activated carbons from herb residues. *Chemical Engineering Journal 167*, pp.148–154, 2011.
- RAMESHA, G. K., KUMARA, A. V., MURALIDHARA, H. B., SAMPATH, S. Graphene and graphene oxide as effective adsorbents toward anionic and cationic dyes. *Journal of colloid and interface science*, v. 361, n. 1, p. 270-277, 2011.
- REGALBUTO, J. R.; ROBLES, J. The engineering of Pt/Carbon Catalyst Preparation. *University of Illinois*: Chicago, 2004.
- RODRÍGUEZ-REINOSO, F.; MOLINA-SABIO, M. Textural and chemical charactezation of microporou carbons, *Advances in colloid and interface Scienc*, v. 76-77, p. 271-294, 1998.
- RUTHVEN, D. M. Principles of adsorption and desorption processes. New York. *Ohn Wiley & Sons*, 1984.
- SHEN, Y.; CHEN, B. Sulfonated Graphene Nanosheets as a Superb Adsorbent for Various Environmental Pollutants in Water, *Environmental Science & Technology* 49, pp.7364–7372, 2015.
- SHARMA, P.; SAIKIA, B. K.; MANASH R. Removal of methyl green dye molecule from aqueous system using reduced graphene oxide as an efficient adsorbent: Kinetics, isotherm and thermodynamic parameters. *Colloids and Surfaces A: Physicochemical and Engineering 457.* pp.125-133, 2014.

- STAUDENMAIER, L. Verfahren zur Darsatellung der Graphitsaure, Ber. Dtsch. Chem. Ges., 31, 1481–1487, 1898.
- TRYBA, B.; PRZEPIORSKI, J.; MORAWSKI, A.W. Influence of chemically prepared H2SO4–graphite intercalation compound (GIC) precursor on parameters of exfoliated graphite (EG) for oil sorption from water, *Carbon 41*, pp.2012–2015, 2003.
- TAUT, M. K, RICHTER, M. Electronic structure of stacking faults in rhombohedral graphite. *Physical Review B*, v. 90, n. 8, AUG 27 2014.
- YAGUB, M. T.; SEN, T. K.; AFROZE, S.; ANG, H. M. Dye and its removal fromaqueous solution by adsorption: a review. Adv. Colloid Interf. Sci. 209, pp.172–184, 2014.
- YANG, R. T. Gas separation by adsorption processes, Butter Worths. 1^a Ed., New York, 1987.
- YANG, Z.-Z.; ZHENG, Q.-B.; QIU, H.-X.; LI, J.; YANG, J.-H. A simple method for the reduction of graphene oxide by sodium borohydride with CaCl₂ as a catalyst, *New Carbon Materials* 30, p.41–47, 2015.
- YASSIN, M. A; IBRAHIM, M. A. M; FAHAD, S. AL-MUBADDEL; NASSER, A. M. Effective and high performance graphene electrode for acidic electrolyte supercapacitors prepared from commercial sugar by one-pot procedure. *Materials Letters* 201, pp.22–26, 2017.
- YU Q, JAUREGUI LA, WU W, COLBY R, TIAN J. Control and characterization of individual grains and grain boundaries in graphene grown by chemical vapour deposition. *Nat Mater10*,pp,443–9 2011.
- ZHAO M; LIU, P., Adsorption of methylene blue from aqueous solutions by odified expanded graphite powder, *Desalination 249*, pp. 331–336, 2009.
- ZHANG, Y.; ZHANG, L.; ZHOU, C. Review of Chemical Vapor Deposition of Graphene and Related Applications. *Accounts of Chemical Research*, v. 46, n. 10, p. 2329-2339, OCT 15 2013.
- ZELAYA, N.C. Sob os olhos da clarividente, 2º ed., Brasília, 1978, v. 1, pp. 1-164.
- WANG, Y.; GAO, S.; ZANG, X.; LI, J.; MA, J. Anal. Chim. Act 716, pp.112–118, 2012.
- WANG, S. B.; SUN, H.; ANG, H. M.; TADÉ M.O. Adsorptive remediation of environmental pollutants using novel graphene-based nanomaterials. Chemical Engeneering Journal 226, p.336-347, 2013.
- WANG, W.; LIU, P.; ZHANG, M.; HU, J.; XING, F. The Pore Structure of Phosphoaluminate Cement, *Journal of Composite Material*, vol. 2 No. 3, 2012.

WU, Z.; ZHONG, H.; YUAN, X.; WANG, H.; WANG, L.; CHEN, X.; ZENG, G.; WU, Y. Adsorptive removal of methylene blue by rhamnolipid-functionalized graphene oxide from wastewater. *Water Research* 67, pp 330-344, 2014.